



TUGAS AKHIR - TF 181801

**PERANCANGAN SISTEM PENGENDALIAN SUPLAI
UDARA BERTEKANAN KE COMBUSTION
SECTION MENGGUNAKAN LOGIC SOLVER PADA
COMBUSTION SECTION GAS TURBINE
GENERATOR (GTG) DI PT. SAKA INDONESIA
PANGKAH LIMITED**

**MAULANA ERRYAN YAVIANDA
NRP. 02311640000078**

**Dosen Pembimbing:
Dr. Suyanto, S.T., M.T.**

**Departemen Teknik Fisika
Fakultas Teknologi Industri Dan Rekayasa Sistem
Institut Teknologi Sepuluh Nopember
Surabaya
2020**

Halaman ini sengaja dikosongkan



FINAL PROJECT - TF 181801

**DESIGNING PRESSURE AIR PRESSURE CONTROL
SYSTEM TO COMBUSTION SECTION USING LOGIC
SOLVER IN COMBUSTION SECTION GAS TURBINE
GENERATOR (GTG) AT PT. SAKA INDONESIA
PANGKAH LIMITED**

**MAULANA ERRYAN YAVIANDA
NRP. 02311640000078**

Supervisors:
Dr. Suyanto, S.T., M.T.

Department Of Engineering Physics
Faculty of Industrial Technology and System Engineering
Sepuluh Nopember Institute of Technology
Surabaya
2020

Halaman ini sengaja dikosongkan

PERNYATAAN BEBAS PLAGIASI

Saya yang bertanda tangan di bawah ini.

Nama : Maulana Erryan Yavianda
NRP : 02311640000078
Departemen / Prodi : Teknik Fisika / S1 Teknik Fisika
Fakultas : Fakultas Teknologi Industri & Rekayasa Sistem (FT-IRS)
Perguruan Tinggi : Institut Teknologi Sepuluh Nopember

Dengan ini menyatakan bahwa Tugas Akhir dengan judul "**PERANCANGAN SISTEM PENGENDALIAN SUPLAI UDARA BERTEKANAN KE COMBUSTION SECTION MENGGUNAKAN LOGIC SOLVER PADA COMBUSTION SECTION GAS TURBINE GENERATOR (GTG) DI PT. SAKA INDONESIA PANGKAH LIMITED**" adalah benar karya saya sendiri dan bukan plagiat dari karya orang lain. Apabila di kemudian hari terbukti terdapat plagiat pada Tugas Akhir ini, maka saya bersedia menerima sanksi sesuai ketentuan yang berlaku.

Demikian surat pernyataan ini saya buat dengan sebenarnya-benarnya.

Surabaya, 23 Agustus 2020

Yang membuat pernyataan,



Maulana Erryan Yavianda
NRP. 02311640000078

Halaman ini sengaja dikosongkan

LEMBAR PENGESAHAN TUGAS AKHIR

**PERANCANGAN SISTEM PENGENDALIAN SUPLAI UDARA BERTEKANAN KE
COMBUSTION SECTION MENGGUNAKAN *LOGIC SOLVER* PADA *COMBUSTION
SECTION GAS TURBINE GENERATOR (GTG)* DI PT. SAKA INDONESIA PANGKAH
LIMITED**

Oleh:



Maulana Erryan Yavianda

NRP. 02311640000078

Surabaya, 23 Agustus 2020

Menyetujui,

Pembimbing



Dr. Suyanto, S.T., M.T.

NIP. 197111131995121002

Mengetahui,

Kepala Departemen

Teknik Fisika FTI RS-ITS



Halaman ini sengaja dikosongkan

LEMBAR PENGESAHAN
PERANCANGAN SISTEM PENGENDALIAN SUPLAI UDARA
BERTEKANAN KE *COMBUSTION SECTION* MENGGUNAKAN *LOGIC*
SOLVER* PADA *COMBUSTION SECTION GAS TURBINE GENERATOR
(GTG) DI PT. SAKA INDONESIA PANGKAH LIMITED

TUGAS AKHIR

Diajukan Untuk Memenuhi Salah Satu Syarat
Memperoleh Gelar Sarjana Teknik
pada
Progam Studi S-1 Departemen Teknik Fisika
Fakultas Teknologi Industri & Rekayasa Sistem (FT-IRS)
Institut Teknologi Sepuluh Nopember

Oleh:

Maulana Erryan Yavianda

NRP. 02311640000078

Disetujui oleh Tim Penguji Tugas Akhir:

1. Dr. Suyanto, S.T., M.T.  (Pembimbing)
2. Dr. Ir. Purwadi Agus Darwito, M.Sc.  (Ketua Penguji)
3. Dr. Katherin Indriawati, S.T., M.T.  (Penguji I)
4. Dr. Dhany Arifianto, S.T., M.Eng.  (Penguji II)
5. Moh Kamalul Wafi, S.T., MSc.DIC  (Penguji III)

SURABAYA

2020

Halaman ini sengaja dikosongkan

**PERANCANGAN SISTEM PENGENDALIAN SUPLAI UDARA
BERTEKANAN KE *COMBUSTION SECTION* MENGGUNAKAN *LOGIC
SOLVER* PADA *COMBUSTION SECTION GAS TURBINE GENERATOR*
(GTG) DI PT. SAKA INDONESIA PANGKAH LIMITED**

Nama : Maulana Erryan Yavianda
NRP : 02311640000078
Departemen : Teknik Fisika FTIRS - ITS
Dosen Pembimbing : Dr. Suyanto, S.T., M.T.

ABSTRAK

Berdasarkan data lapangan Gas Turbin Generator Centaur 40 yang telah didapatkan dari PT. Saka Indonesia Pangkah Limited diketahui bahwa gas turbin generator tersebut memiliki *combustion chamber* yang menghasilkan temperature pembakaran yang mendekati temperature maksimal yang dapat ditampung di *combustion chamber* yaitu 1573 kelvin dimana untuk kondisi normal temperature maksimal yang dapat dicapai adalah 1211 kelvin. Oleh karena itu perlu diberikan sistem pengendalian laju aliran massa udara dan suplai bahan bakar berdasarkan data aktual yang berada di lapangan sehingga suplai udara dan bahan bakar dikendalikan supaya temperatur di *combustion chamber* tetap terjaga dibawah 1573 kelvin. Sistem pengendalian laju aliran massa udara menggunakan aktuator berupa *control valve* FV 7076 dimana pada tugas akhir ini menggunakan pengendalian dengan fungsi sebab akibat yaitu *logic solver*. *Logic solver* memberikan sinyal kendali agar aliran massa udara tetap konstan di nilai maksimal yang dihasilkan oleh kompresor 7.783 Kg/s. *Logic solver* sebagai pembuat keputusan berdasarkan masukan berupa *temperature transmitter* dimana apabila bacaan pada *temperature transmitter* berada di rentang 4 mA hingga 20 mA maka pembakaran di *combustion chamber* masih dalam kondisi yang aman namun apabila bacaan *temperature transmitter* melebihi itu maka akan di berikan sinyal kendali melalui *logic solver* agar suplai udara dan bahan bakar tetap di kondisi yang aman agar temperatur maksimum maka laju aliran massa bahan bakar akan dikendalikan dengan mode pengendalian proportional integral (PI) agar pembakaran di *combustion chamber* sesuai *set point*.

Kata Kunci: GTG, *combustion chamber*, *logic solver*

Halaman ini sengaja dikosongkan

***DESIGNING PRESSURE AIR PRESSURE CONTROL SYSTEM TO
COMBUSTION SECTION USING LOGIC SOLVER IN COMBUSTION
SECTION GAS TURBINE GENERATOR (GTG) AT PT. SAKA INDONESIA
PANGKAH LIMITED***

Name : Maulana Erryan Yavianda
NRP : 02311640000078
Department : Engineering Physics FTIRS - ITS
Supervisors : Dr. Suyanto, S.T., M.T.

ABSTRACT

Based on field data from the Centaur 40 Gas Turbine Generator that has been obtained from PT. Saka Indonesia Pangkah Limited is known that the gas turbine generator has a combustion chamber that produces a combustion temperature that is close to the maximum temperature that can be accommodated in the combustion chamber which is 1573 kelvin where for normal conditions the maximum temperature that can be achieved is 1 211 kelvin. Therefore it is necessary to provide a system of controlling the flow rate of air mass and fuel supply based on actual data in the field so that the air supply and fuel are controlled so that the temperature in the combustion chamber is maintained below 1573 kelvin. The air mass flow rate control system uses an actuator in the form of a control valve FV 7076 which in this final project uses a control with a cause and effect function that is logic solver. Logic solver provides a control signal so that the mass flow of air remains constant at the maximum value generated by the compressor 7,783 Kg / s. Logic solver as a decision maker based on input in the form of a temperature transmitter where if the reading at the temperature of the transmitter is in the range of 4 mA to 20 mA then combustion chamber combustion is still in a safe condition, but if the transmitter temperature reading exceeds it, it will be given a control signal through the logic solver so that the air supply and fuel remain in safe conditions so that the temperature does not exceed the maximum limit and if the temperature is still below the maximum limit then the mass flow rate of the fuel will be controlled by proportional integral control mode (PI) so that combustion in the combustion chamber matches the set point

Keywords: GTG, combustion chamber, air-fuel ratio, logic solver

Halaman ini sengaja dikosongkan

KATA PENGANTAR

Puji syukur kehadirat Allah SWT yang senantiasa melimpahkan rahmat dan hidayah-Nya serta shalawat dan salam kepada Nabi Muhammad SAW sehingga dapat terselesaikannya tugas akhir beserta laporan tugas akhir yang berjudul **“PERANCANGAN SISTEM PENGENDALIAN SUPLAI UDARA BERTEKANAN KE COMBUSTION SECTION MENGGUNAKAN LOGIC SOLVER PADA COMBUSTION SECTION GAS TURBINE GENERATOR (GTG) DI PT. SAKA INDONESIA PANGKAH LIMITED”**.

Penulis telah banyak memperoleh bantuan dari berbagai pihak dalam penyelesaian tugas akhir dan laporan tugas akhir ini. Penulis mengucapkan terima kasih kepada:

1. Mama, Papa dan Keluarga Besar atas segala, doa, perhatian, serta dukungan moril dan materiil yang telah diberikan.
2. Bapak Dr. Suyanto, S.T., M.T. selaku Ketua Departemen Teknik Fisika ITS yang telah memberikan ilmu, bimbingan serta sarana dan prasarana selama menempuh pendidikan di Teknik Fisika ITS.
3. Bapak Dr. Suyanto, S.T., M.T. selaku dosen pembimbing yang telah dengan sabar memberikan petunjuk, ilmu, motivasi serta bimbingan dalam penggerjaan tugas akhir ini.
4. Seluruh dosen Teknik Fisika ITS atas segala ilmu, bimbingan, petunjuk, dan nasihat yang sangat bermanfaat serta seluruh civitas akademika Teknik Fisika ITS, terima kasih atas segala bantuan dan kerjasamanya.
5. Seluruh teman seperjuangan dalam tugas akhir terima kasih atas bantuan dan kerjasamanya.
6. Agresya Shafana Putri, atas motivasi dan semangat yang selalu diberikan kepada saya dalam mengerjakan tugas akhir ini.
7. Seluruh teman-teman asisten Lab. Workshop Instrumentasi, terimakasih.
8. Seluruh teman–teman mahasiswa Departemen Teknik Fisika ITS angkatan 2016 terima kasih telah menjadi teman seperjuangan dalam menuntut ilmu.
9. Teman-teman kelas A yang selalu menjadi teman belajar dari semester 1 sampai semester 8.

10. Semua pihak yang tidak dapat disebutkan satu persatu, terimakasih atas bantuannya

Penulis sadar bahwa penulisan laporan tugas akhir ini masih terdapat kekurangan. Namun, semoga laporan ini dapat memberikan kontribusi yang berarti dan menambah wawasan yang bermanfaat bagi pembaca, keluarga besar Teknik Fisika ITS khususnya, dan civitas akademika ITS pada umumnya. Semoga laporan tugas akhir ini dapat bermanfaat sebagai referensi penggerjaan laporan tugas akhir bagi mahasiswa lainnya.

Magetan, 24 Juni 2020

Penulis

DAFTAR ISI

HALAMAN JUDUL	i
COVER PAGE.....	iii
PERNYATAAN BEBAS PLAGIASI	v
LEMBAR PENGESAHAN.....	vii
LEMBAR PENGESAHAN.....	ix
ABSTRAK.....	xi
ABSTRACT	xiii
KATA PENGANTAR.....	xv
DAFTAR ISI	xvii
DAFTAR GAMBAR.....	xix
DAFTAR TABEL	xxi
BAB I PENDAHULUAN	1
1.1 Latar Belakang.....	1
1.2 Rumusan Masalah	2
1.3 Tujuan Penelitian.....	2
1.4 Batasan Msalah.....	3
1.5 Sistematika Laporan	3
BAB II TINJAUAN PUSTAKA	5
2.1 Gas Turbin.....	5
2.2 Kompresor (<i>compression section</i>)	6
2.3 Ruang Pembakaran (<i>combustion chamber</i>)	7
2.4 Sistem Pengendalian Suplai udara ke <i>combustion chamber</i>	11
2.5 Mode Pengendalian PI.....	15
2.6 <i>Controller</i> Berbasis <i>Logic Solver</i>	16

BAB III METODOLOGI PENELITIAN.....	19
3.1 Identifikasi Parameter <i>Compression Section</i>	19
3.2 Identifikasi Parameter <i>Combustion Chamber</i>	20
3.3 Pemodelan Sistem Pengendalian Suplai Udara ke <i>Combustion Chamber</i> ..	21
3.4 Perancangan <i>Sistem Pengendalian Suplai Udara ke Combustion Chamber</i>	28
BAB IV HASIL DAN PEMBAHASAN.....	33
5.1 Kesimpulan.....	37
5.2 Saran	37
DAFTAR PUSTAKA	39
LAMPIRAN A	41
LAMPIRAN B.....	43
LAMPIRAN C	45
BIODATA PENULIS.....	64

DAFTAR GAMBAR

Gambar 2. 1 Gambar gas turbin pada industri, dengan izin dari Siemens Energy, Inc.	5
Gambar 2.2 Diagram tekanan-volume pada gas turbin di industry dengan izin dari	6
Gambar 2. 3 Skema dari sebuah ruang bakar [3]	8
Gambar 2. 4 Contoh Film Pendingin Diterapkan pada Tabung Api Pembakaran. [3].....	9
Gambar 2. 5 Diagram blok sistem pengendalian suplai udara dan bahan bakar .	11
Gambar 2. 6 <i>Control Valve</i>	12
Gambar 2. 7 <i>Thermocouple</i> Tipe K.....	14
Gambar 2. 8 Karakteristik Respon Sistem [13]	16
Gambar 2. 9 Tabel Kebenaran dalam <i>Stateflow</i> [15]	17
Gambar 3. 1 <i>Flowchart</i> Alur Penelitian.....	19
Gambar 3. 2 Pemodelan <i>Compression Section</i> pada Simulink.....	22
Gambar 3. 3 Pemodelan Combustion Chamber Menggunakan Aplikasi Simulink	23
Gambar 3. 4 Pemodelan Control Valve Suplai Udara Menggunakan Aplikasi Simulink	25
Gambar 3. 5 Pemodelan <i>Control Valve</i> Suplai Bahan Bakar Menggunakan Aplikasi Simulink	27
Gambar 3. 6 Pemodelan <i>Temperature Transmitter</i> pada Keluaran <i>Combustion</i> . Gambar 3. 7 Diagram blok Sistem Pengendalian Udara ke <i>Combustion Chamber</i>	28
Gambar 3. 8 Tabel Aksi dan Tabel Kondisi pada <i>Logic Solver</i>	30
Gambar 4. 1 Kurva Reaksi Validasi Temperature <i>Combustion Chamber</i> pada Sistem Pengendalian Suplai Udara ketika Temperatur 1211 Kelvin.....	33
Gambar 4. 2 Kurva Reaksi Sstem Pengendalian Suplai Udara dengan Temperatur 1573 Kelvin.....	35

Halaman ini sengaja dikosongkan

DAFTAR TABEL

Tabel 3. 1 Identifikasi Parameter <i>Compression Section</i>	20
Tabel 3. 2 Identifikasi Parameter <i>Combustion Chamber</i>	20
Tabel 3. 3 Data lapangan Flow Control Valve pada Compression Section Menuju <i>Combustion Chamber</i>	24
Tabel 3. 4 Data lapangan Flow Control Valve bahan bakar Menuju Combustion	26
Tabel 4. 1 Karakteristik Respon Sistem ketika Temperatur 1121 Kelvin.....	34
Tabel 4. 2 Karakteristik Respon Sistem ketika Temperatur 1573 Kelvin.....	36

Halaman ini sengaja dikosongkan

BAB I

PENDAHULUAN

1.1 Latar Belakang

Gas turbine generator (GTG) memiliki 3 buah *section*: *compression section*, *combustion chamber* dan turbin. Pada *combustion chamber* terdapat proses pembakaran bahan bakar dan proses pendinginan menggunakan udara yang dihasilkan dari *compression section* dengan presentase udara yang digunakan untuk pembakaran (*primary air*) 70-75% dan untuk pendinginan (*secondary air*) 20-25% [1]. Rasio udara dan bahan bakar telah di setting pada nilai AFR (*air to fuel ration* tertentu) untuk menggerakan turbin akan tetapi jika suplai udara dan bahan bakar tidak sesuai akan menimbulkan dampak rasio udara dan bahan bakar tidak lagi memenuhi AFR sehingga berdampak pada kualitas kalor yang dihasilkan karena semakin tinggi tekanan menuju *combustion chamber* maka nyala api akan semakin meningkat [2]. Rendahnya suplai udara berdampak terhadap proses pembakaran di *combustion chamber*, dimana ketika kurangnya massa udara yang dibutuhkan untuk pembakaran akan mengakibatkan bahan bakar tidak terbakar dengan sempurna dibagian dalam *combustion chamber* [3]. Disisi lain metal pada bagian *combustion chamber* mampu meleleh pada suhu 1573 kelvin [4]. Oleh karena itu diperlukan pengaturan temperature pada *combustion chamber*. Untuk menganstisipasi terjadinya hal tersebut maka di perlukan aksi untuk memanipulasi suplai udara dari *compression section* ke ruang bakar dengan mengatur bukaan *control valve* sehingga menghasilkan *air-fuel ratio* yang optimal.

Sehingga pada tugas akhir ini akan dilakukan rancangan suplai udara dengan memanipulasi udara di *control valve* agar dapat mengendalikan suplai udara dari *compression section* menuju *combustion chamber* apabila laju aliran massa udara yang dihasilkan tidak stabil dikarenakan perubahan daya kompresor [5]. Controller yang dipergunakan pada sistem pengendalian suplai udara menuju *combustion chamber* harus dapat melogika nilai optimum pembakaran natural gas yaitu dengan nilai *air-fuel ratio* maksimal 17.12 [3]. Pada P.T Saka Indonesia Pangkah Limited, *control valve* memiliki sistem pengendalian dengan menggunakan PID controller. Oleh sebab itu controller untuk tugas akhir ini akan mempergunakan mode yang

berbeda yaitu *logic solver* (sebuah algoritma yang dibangun atas dasar data record kondisi operasi di *combustion chamber* dan kondisi operasi di *compression section*). *Logic solver* berfungsi untuk mengendalikan *control valve* suplai udara guna mengatur laju aliran massa udara yang dihasilkan oleh *compression section* dan *control valve* suplai bahan bakar dimana *air-fuel ratio* maksimalnya adalah 17.12 antara bahan bakar dengan laju aliran massa udara agar temperature pembakaran yang dihasilkan untuk menggerakan turbin dapat mencapai nilai optimal dan temperature pembakaran yang dicapai pada *combustion chamber* tidak melebihi batas maksimal yaitu 1573 kelvin. Controller berbasis logic solver mempunyai *Data Based (Knowledge Based)* yang dibangun dari data *record* dan data hasil wawancara dengan operator yang berpengalaman, sehingga didapatkan langkah untuk memanipulasi besarnya suplai udara dan bahan bakar ke *combustion chamber* melalui aksi manipulasi di *control valve*. Dengan dirancangnya sistem pengendalian suplai udara ke *combustion chamber* berbasis *logic solver* diharapkan dapat mengoptimalkan pembakaran pada *combustion chamber* dan menjadi *safety* pada *combustion chamber*.

1.2 Rumusan Masalah

Dari paparan latar belakang diatas maka permasalahan pada tugas akhir ini adalah:

1. Bagaimana merancang controller berbasis logic solver pada system pengendalian suplai udara?
2. Bagaimana kinerja system pengendalian berbasis logic solver dari hasil simulasi?

1.3 Tujuan Penelitian

Berdasarkan rumusan masalah yang ada didapatkan tujuan dari tugas akhir ini adalah:

1. Mampu merancang controller berbasis *logic solver* pada sistem pengendalian suplai udara.
2. Mampu mengetahui kinerja hasil dari simulasi atas rancangan system pengendalian berbasis *logic solver*.

1.4 Batasan Msalah

Adapun Batasan masalah pada tugas akhir ini adalah sebagai berikut:

1. Data *properties* udara dari *inlet compression section* menuju *combustion chamber* diperoleh dari PT. Saka Indonesia Pangkah Limited.
2. Gas Turbine Generator berada di PT. Saka Indonesia Pangkah Limited.
3. Perancangan sistem pengendalian suplai udara untuk memenuhi *fuel-air ratio* pada *combustion chamber*.
4. Untuk mengetahui kinerja sistem pengendalian suplai udara ke *combustion chamber* dengan menggunakan pengendalian *logic solver* maka digunakan pemodelan *simulink* pada *software matlab*.
5. Enthalpy dan temperature dianggap konstan.

1.5 Sistematika Laporan

Laporan tugas akhir ini terdiri dari lima bab dengan dilengkapi daftar pustaka sebagai sumber penulisan laporan tugas akhir ini. Secara umum, sistematika laporan tugas akhir ini adalah sebagai berikut:

1. BAB I PENDAHULUAN

Bab ini berisikan tentang latar belakang pembuatan tugas akhir serta rumusan masalah, tujuan, Batasan masalah dan sistematika laporan itu sendiri.

2. BAB II TEORI PENUNJANG

Bab ini berisikan tentang penjelasan secara umum serta persamaan model matematik dari gas turbin generator, *pressure transmitter*, *sleeve valve*, dan *combustion chamber*.

3. BAB III METODOLOGI PENELITIAN

Bab ini berisikan tentang metodologi penelitian dalam merancang pengendalian *supply* udara bertekanan menuju *combustion chamber* menggunakan *logic solver* dari awal hingga mendapatkan hasil yang diinginkan.

4. BAB IV ANALISA DATA DAN PEMBAHASAN

Bab ini berisikan tentang analisa data dan pembahasan dari hasil metodologi penelitian yang telah dilakukan sesuai dengan BAB III.

5. BAB V PENUTUP

Pada BAB V ini berisikan tentang penutup dari hasil tugas akhir yang berisikan tentang kesimpulan dari hasil tugas akhir yang telah dilakukan dan saran untuk pengembangan tugas akhir pada penilitian selanjutnya.

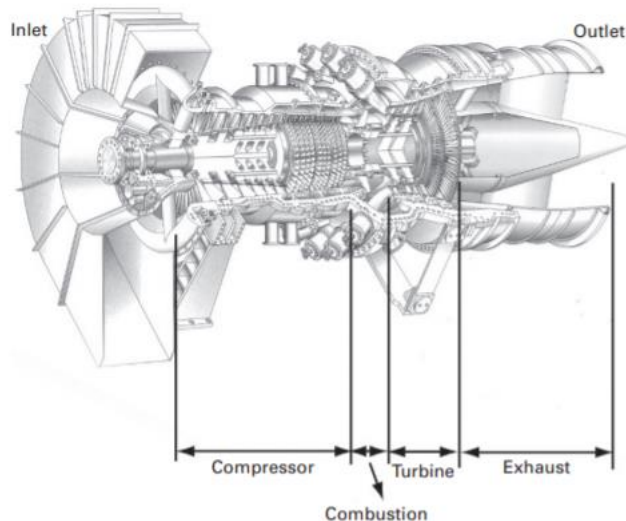
BAB II

TINJAUAN PUSTAKA

2.1 Gas Turbin

Gas turbin di industri memiliki peran utama dalam pembangkit listrik, menyediakan sarana produksi listrik yang bersih, andal, dan efisien. Gas turbin memiliki keunggulan dibandingkan banyak bentuk peralatan pembangkit listrik lainnya karena turbin ini mampu memberikan daya dengan cepat pada saat permintaan energi listrik memuncak. Tidak seperti mesin pesawat terbang komersial yang beroperasi dengan daya yang memuncak hanya pada saat lepas landas dan mendarat, turbin gas industri dapat beroperasi terus-menerus pada beban dasar selama ribuan jam. Gas turbin di industri mampu beroperasi pada suhu sekitar jauh di bawah titik beku serta suhu setinggi 45°C . Meskipun gas turbin biasanya berbahan bakar gas alam, gas turbin ini dapat dikonfigurasikan untuk berjalan pada bahan bakar berbasis petrol, dan gas sintetis yang berasal dari batubara atau biomassa. [6]

Gas turbin memiliki 3 bagian utama diantaranya adalah: kompresor (*compression section*), ruang bakar (*combustion chamber*) dan turbin (meskipun dari sudut pandang materialnya, bagian utama yang lainnya adalah rotor, *casing*, dan *auxiliaries* merupakan bagian yang perlu diperhatikan juga). Bagian Kompresor, ruang bakar dan turbin dapat dilihat pada gambar 2.1.



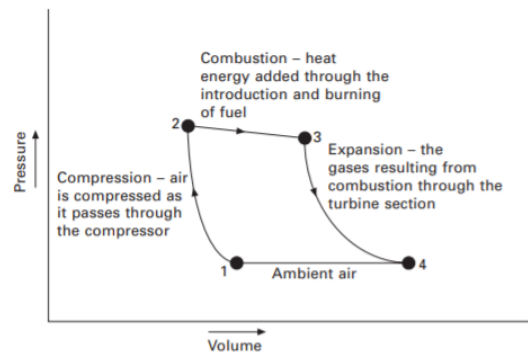
Gambar 2. 1 Gambar gas turbin pada industri, dengani izin dari Siemens Energy, Inc.

[6]

Gas turbin memiliki 3 bagian utama diantaranya adalah: kompresor (*compression section*), ruang bakar (*combustion chamber*) dan turbin (meskipun dari sudut pandang materialnya, bagian utama yang lainnya adalah rotor, *casing*, dan *auxiliaries* merupakan bagian yang perlu diperhatikan juga). Bagian Kompresor, ruang bakar dan turbin dapat dilihat pada gambar 2.1.

2.2 Kompresor (*compression section*)

Pada awalnya udara pada lingkungan memasuki gas turbin pada lubang masuk kompresor. Sebagaimana udara melewati tahapan kompresi secara berurutan (lajur alternatif dari airfoil statis yang dikenal sebagai baling-baling kompresor atau stator dan putaran dari airfoil itu sendiri disebut sebagai bilah kompresor) tekanan dan suhu meningkat karena kompresor memiliki tujuan untuk mengurangi volume udara. Udara yang sekarang telah terkompresi kemudian masuk menuju bagian pembakaran dimana sebagian udara digunakan untuk pembakaran bahan bakar di zona utama (*primary zone*) *combustion chamber* dan Sebagian lagi digunakan untuk pendinginan melalui zona pengenceran (*dilution zone*) *combustion chamber*. Pada ruang bakar terjadi peningkatan volume udara namun tekanannya tetap relatif konstan. Gas yang telah dihasilkan selama pembakaran selanjutnya diperluas melalui bagian turbin (pada bagian turbin memiliki persamaan dengan bagian kompresor dimana pada bagian turbin juga memiliki deretan jalur baling-baling statis dan bilah yang berputar). Gas yang mengembang kemudian menyebabkan bilah turbin berputar. Rotasi ini menggerakkan kompresor dan generator eksternal. Pada akhirnya gas yang telah terbakar akan keluar dari turbin melalui saluran pembuangan. Siklus ini dapat dilihat pengaruh tekanan dan volumenya pada gambar 2.2 [6]



Gambar 2.2 Diagram tekanan-volume pada gas turbin di industry dengan izin dari Siemens Energy, Inc. [6]

Model matematik yang digunakan untuk kompresor berdasarkan *performance map* kompresor dan hubungan energi diamana untuk suplai udara dari kompresor dibagi menjadi dua yang berfungsi untuk pembakaran pada *combustion chamber* dan pendinginan pada dinding *combustion chamber* [1]. Fluida masuk menuju kompresor melalui *inlet* kompresor kemudian didistribusikan menuju *combustion chamber* dengan tekanan tinggi. Tekanan pada fluida yang tinggi dikarenakan torsi yang ditimbulkan oleh bilah pada kompresor. Oleh karena itu persamaan karakteristik pada kompresor adalah sebagai berikut [5]:

$$\dot{W}_c = \dot{m} * (h(T_{out}) - h(T_{in})) \quad (2.1)$$

Dimana:

\dot{W}_c = Daya kompresor (W)

\dot{m} = Laju aliran massa (kg/s)

h = Enthalpy (J/kg)

T = Temperatur

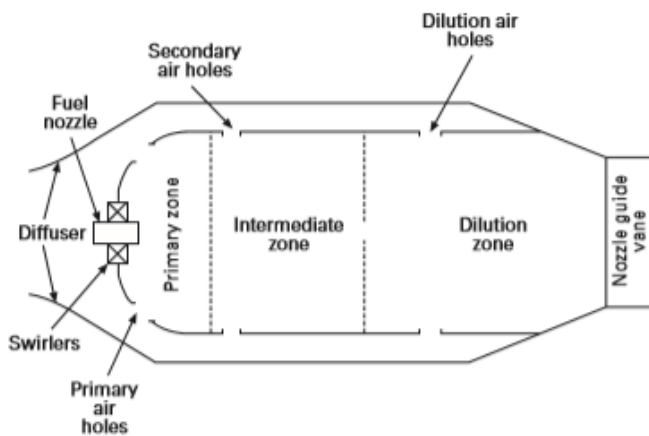
2.3 Ruang Pembakaran (*combustion chamber*)

Daya keluaran dari gas turbin dikendalikan oleh input panas yang diberikan, dimana panas tersebut dihasilkan dengan membakar bahan bakar pada ruang bakar dengan menggunakan udara dari hasil bagian kompresor. Penggunaan bahan bakar hidrokarbon telah tersebar luas pada penggunaan gas turbin. Bahan bakar cair seperti minyak tanah atau bahan bakar gas seperti gas alam, adalah contoh dan penggunaan gas alam yang menjadi semakin umum penggunaannya pada gas turbin di industri. Jumlah input panas sering disebut sebagai net input termal. Daerah untuk temperatur keluar pada ruang bakar harus dikontrol hingga sesuai dengan apa yang dibutuhkan oleh turbin agar masa mulur komponen pada turbin tidak terganggu. Hal ini dapat dilakukan dengan membagi proses pembakaran dengan dua atau tiga bagian berbeda [3]. Bagian-bagian itu adalah:

1. Zona utama: tempat bahan bakar bakar dibakar dan panas dari bahan bakar dilepaskan
2. Zona menengah: dimana tambahan udara dimasukkan untuk menyempurnakan pembakaran
3. Zona penipisan: udara yang tersisa dimasukkan untuk mengurangi temperatur keluar dari ruang bakar yang dibutuhkan oleh turbin

Sistem ruang pembakaran pada gas turbin memiliki beberapa bagian atau skema yang ditunjukkan oleh gambar 2.3 yang diantaranya adalah:

1. *Diffuser*
2. *Fuel nozzle*
3. *Primary zone*
4. *Intermediate zone*
5. *Dilution zone*



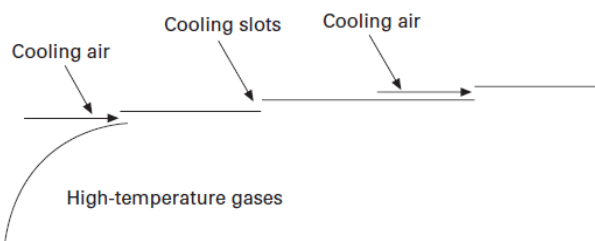
Gambar 2. 3 Skema dari sebuah ruang bakar [3]

Gas pembakaran yang meninggalkan zona menengah (*intermediate zone*) akan berada di suhu sekitar 1800K dan mungkin masih terlalu panas untuk turbin di bagian hilir [3]. Zona pengenceran harus memastikan bahwa suhu gas yang memasuki turbin memuaskan dan hal ini dapat dicapai dengan menambahkan udara yang tersisa untuk bercampur dengan produk pembakaran.

Suhu tinggi yang berlaku di dalam ruang bakar selama pembakaran menyebabkan tabung nyala api mencapai suhu yang sangat tinggi. Meskipun udara yang melewati proses pembakaran (*dilution zone*) memberikan pendinginan pada tabung api, pendinginan tambahan biasanya diperlukan. Pendinginan tabung nyala tambahan ditambahkan dengan memasukkan sejumlah slot di sepanjang nyala api untuk menghasilkan film udara pendingin di atas bahan *combustion chamber*. Film udara pendingin ini bertindak sebagai penghalang panas dan melindungi tabung api, seperti yang ditunjukkan pada Gambar 2.4.

Teknik-teknik seperti pendinginan transpirasi, dapat diterapkan pada pendinginan tabung api. Teknik pendinginan tersebut menghasilkan pengurangan yang signifikan

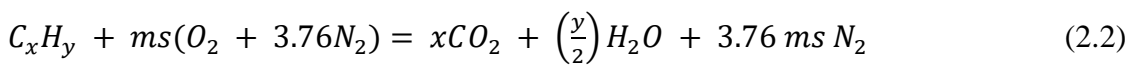
dalam kebutuhan udara pendingin dan diklaim bahwa sekitar 50% pengurangan udara pendingin tabung api terjadi dengan teknik tersebut.



Gambar 2. 4 Contoh Film Pendingin Diterapkan pada Tabung Api Pembakaran. [3]

Suhu dalam zona pembakaran *combustion chamber* dapat mencapai lebih dari 1900° Celcius, jauh lebih tinggi daripada kebanyakan material yang dapat bertahan. Untuk mengendalikan ini, sebagian udara dari kompresor dapat digunakan untuk mendinginkan dinding liner pembakaran *combustion chamber*. Ini juga akan mencairkan gas pembakaran yang sangat panas untuk meredam suhu dinding *combustion chamber*. Aliran udara melalui semua bagian *combustion chamber* harus dikelola untuk menghindari ketidakstabilan api dan turbulensi yang akan menyebabkan hilangnya energi. Tujuannya adalah untuk menghasilkan aliran udara yang lancar, meskipun penambahan energi panas akan meningkatkan suhunya dan meningkatkan tekanan total. [7]

Udara mengandung 1 molekul (mol) O₂ dan 3,76 molekul (mol) nitrogen (N₂). Jumlah karbon dioksida dan argon diabaikan karena jumlah ini sangat kecil dibandingkan dengan jumlah oksigen dan nitrogen di udara. Molekul bahan telah dinyatakan sebagai berikut:



dan



Di mana ms adalah mol udara yang dibutuhkan untuk pembakaran sempurna. Untuk kombinasi sempurna, jumlah mol O₂ per mol bahan bakar adalah ms = x + y / 4

(Persamaan 2.5a) Rasio massa bahan bakar-udara stoikiometrik (FAR_s) dinyatakan sebagai berikut [3]:

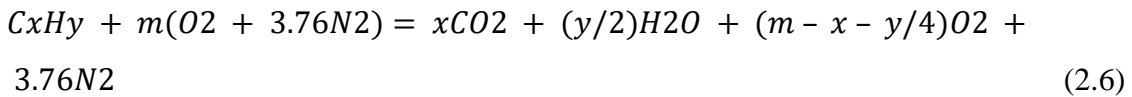
$$(FAR)_s = \frac{12,01x + 1,008y}{ms (32 + 3,76 \times 28,013)} \quad (2.4)$$

di mana 12,01 adalah berat atom karbon, 1,008 adalah berat atom H₂, 32 adalah berat mol O₂ dan 28,013 adalah berat mol N₂. Oleh karena itu, rasio massa bahan bakar-udara stoikiometrik adalah [3]:

$$(FAR)_s = \frac{12,01x + 1,008y}{137,33(x + \frac{y}{4})} \quad (2.5)$$

Jika kita membakar metana (CH₄, x = 1 dan y = 4) di udara, bahan bakar-udara stoikiometrik adalah 0,0584. Jadi untuk pembakaran total kita membutuhkan, 17,12 kg udara digunakan untuk membakar 1 kg metana. Jika kita membakar minyak tanah, yang dapat direpresentasikan sebagai C₁₂H₂₄, di mana x = 12 dan y = 24, rasio bahan bakar-udara stoikiometrik adalah 0,068 dan kita membutuhkan 14,71 kg udara untuk membakar 1 kg minyak tanah.

Pembakaran di udara berlebih akan menghasilkan keberadaan oksigen dalam produk pembakaran dan merupakan kasus normal dalam turbin gas. Persamaan 2.8 memberikan keseimbangan molar untuk kasus ini [3]:



Performa pembakaran ditentukan dengan banyaknya panas yang dihasilkan dan *pressure loss* saat melewati ruang pembakaran. Untuk kondisi *inlet* yang telah diketahui, *outlet* dari temperature dan *pressure loss* dapat dihitung dengan persamaan dibawah ini. Persamaan (2.9) menunjukkan ratio dari perubahan enthalpy pada panas yang ditambahkan ke system dan hal tersebut didefinisikan sebagai temperature keluar pada ruang pembakan (*combustion chamber*) [8]:

$$\frac{\eta_b * m_f * HV + (\dot{m}_{02} h(T_{02}))}{\dot{m}_{out} * h_{out}} = T_{out} \quad (2.7)$$

$$\eta_b = \frac{((\dot{m}_2 + \dot{m}_f)hT_{03}) - (\dot{m}_2 hT_{02})}{m_f * HV} \quad (2.8)$$

$$\dot{m}_{out} = \dot{m}_{02} + \dot{m}_f \quad (2.9)$$

Dimana:

H_v = Heat Value Natural Gas

\dot{m}_{out} = laju aliran massa keluar dari combustion chamber

\dot{m}_f = laju aliran massa bahan bakar

\dot{m}_2 = laju aliran massa udara

η_b = efisiensi ruang bakar

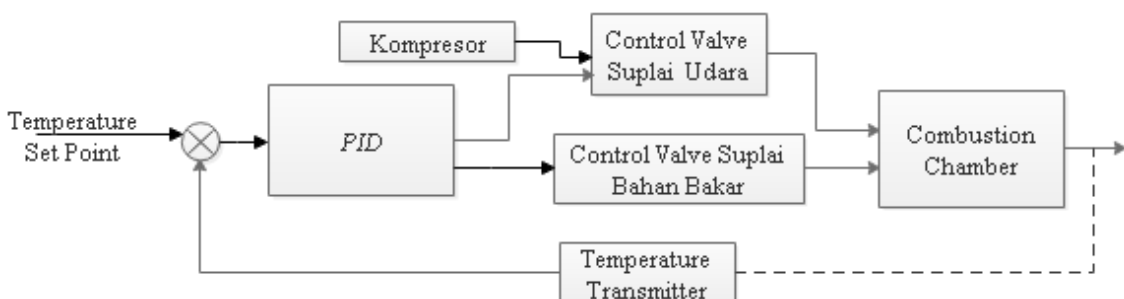
T_{03} = Temperature keluar pada combustion chamber

T_{02} = Temperature masuk pada combustion chamber

Berdasarkan teori-teori penunjang yang telah dijelaskan diatas maka suplai udara dari kompresor sangat berpengaruh dalam proses pembakaran pada *combustion chamber*, dimana ketika suplai udara rendah maupun terlalu tinggi dapat mengkibatkan terjadinya *flameout* atau hilangnya proses pembakaran pada *combustion chamber* maka dapat dilakukan pengendalian suplai udara terhadap bahan bakar agar memenuhi laju aliran *air-fuel ratio* optimum dengan nilai 17.12 untuk bahan bakar natural gas. Namun pengendalian yang dilakukan disini menggunakan *control valve* yang diletakkan pada keluaran *compression section* dengan variable kontrolnya adalah laju aliran massa udara.

2.4 Sistem Pengendalian Suplai udara ke *combustion chamber*

Diketahui bahwa pada Gas Turbine Generator Centaur 40 milik PT. Saka Indonesia Pangkah *Limited* memiliki *control valve* dengan PID sebagai pengendalinya yang ditunjukan oleh gambar 2.5. Oleh karena itu digunakan system pengendalian yang berbeda untuk dapat mengatur bukaan *control valve* pada suplai udara *compression section* menuju *combustion chamber* untuk mengoptimalkan pembakaran pada *combustion chamber* dikarenakan suplai udara menuju *combustion chamber* tidak memenuhi *fuel-air ratio*.



Gambar 2. 5 Diagram blok sistem pengendalian suplai udara dan bahan bakar

Compression section menyuplai udara melalui *control valve* dengan fungsi untuk pembakaran dan pendinginan. Dimana pada *control valve* disuplai 75% udara yang berfungsi untuk mendinginkan dinding pada *combustion chamber* pada gas turbin generator dan 25% digunakan untuk memenuhi *fuel-air ratio* pada *combustion chamber*

yang telah dijelaskan pada bab 2. Pembakaran pada *combustion chamber* akan menghasilkan udara panas bertekanan tinggi yang kemudian disalurkan untuk menggerakan turbin. Turbin yang telah menerima udara yang bertekanan akan bergerak diikuti dengan bergeraknya shaft yang akan menghasilkan energi listrik pada generator.

2.4.1 Control Valve Suplai Baham Bakar (FCV 7065)

Control valve adalah katup yang digunakan untuk mengontrol aliran fluida dengan memvariasikan ukuran aliran yang diarahkan oleh sinyal dari pengontrol. Hal ini memungkinkan mengontrol langsung laju aliran dan kontrol konsekuensial dari beberapa proses seperti tekanan, suhu, dan tingkat cairan, bentuk dari *control valve* ditunjukkan pada gambar 2.6. [10].



Gambar 2. 6 Control Valve

Control valve pada sistem pengendalian suplai udara menggunakan aktuator elektrik yang berarti aktuator tersebut menggunakan motor elektrik untuk menggerakan gir untuk mengendalikan bukaan pada *control valve* secara linear [11] yang berfungsi sebagai output dari *logic solver* yang bertindak untuk mengatur suplai bahan bakar menuju *combustion chamber* berdasarkan input dari *logic solver* yang berupa nilai tekanan dari *compression section* menuju *combustion chamber*. Oleh karena itu diperlukan fungsi transfer *control valve*. Aksi *control valve* yang digunakan adalah ATO / FO. Sehingga saat sinyal dari controller 4 mA *control valve* akan menutup dan saat 20 mA maka *control valve* akan membuka penuh. Sehingga didapatkan fungsi *control valve* sebagai berikut :

$$\frac{\dot{m}_s(s)}{U(s)} = \frac{K}{\tau_v s + 1} \quad (2.10)$$

Keterangan:

$$\dot{m}_s(s) = \text{laju aliran bahan bakar } \left(\frac{kg}{s} \right)$$

$$U(s) = \text{sinyal masukan ke control valve (mA)}$$

K = gain control valve

τ_v = time constant control valve (s)

Gain control valve dapat diketahui dengan menggunakan model matematis sebagai berikut:

$$K = \frac{\text{Laju aliran maksimum} - \text{Laju aliran minimum}}{\text{Perubahan Masukkan}} \quad (2.11)$$

karena sleeve valve terbuka 30% gain I/P dapat dihitung dengan:

$$Gt = \frac{\text{Span Output (mA)}}{\text{Span Input (Psi)}} \quad (2.12)$$

Maka gain total dari control valve adalah:

$$Kv = Gt * Kc \quad (2.13)$$

Mencari nilai time constant sleeve valve:

$$\Delta Q = \frac{\text{Aliran Max} - \text{Aliran Min}}{\text{Aliran Max}} \quad (2.14)$$

$$\lambda cv = TV(\Delta Q + R) \quad (2.15)$$

Λcv = Time Constant Valve

TV = Waktu stroke penuh

R = Konstanta inherent terhadap stroke penuh

Dari data-data yang didapat maka model matematika control valve adalah sebagai berikut:

$$Gcv = \frac{Kv}{\lambda s + 1} \quad (2.16)$$

2.4.2 Control Valve Suplai Udara (FV 7076)

Pada control valve FV 7076 digunakan untuk mengatur laju aliran massa udara yang berasal dari kompresor. Control valve diatur dengan menggunakan logic solver agar memenuhi air-fuel ratio berdasarkan laju aliran massa udara dengan laju aliran massa bahan bakar yang diautur oleh control valve FCV 7065. Berdasarkan P&ID gas turbin generator centaur 40, control valve 7076 menggunakan positioner untuk mengatur presentase dari laju aliran massa udara. Oleh karena itu didapatkan fungsi control valve sebagai berikut:

$$\text{Gain I/P} : G_{I/P} = \frac{\Delta output}{\Delta input} \quad (2.17)$$

$$\text{Gain Positioner} : G_p = \frac{\Delta output}{\Delta input} \quad (2.18)$$

$$\text{Gain Valve} : Gv = \frac{\Delta output}{\Delta Input} \quad (2.19)$$

$$\text{Gain Proses} : G_{Pr} = \frac{\Delta \text{Output}}{\Delta \text{Input}} \quad (2.20)$$

Sehingga diperoleh gain total control valve sebagai berikut :

$$Kv = G_{I/P} * G_P * G_v * G_{Pr} \quad (2.21)$$

2.4.3 Temperature Transmitter (TT 1501)

Temperature transmitter yang digunakan pada PT. Saka Indonesia Pangkah Limited adalah *Thermocouple* tipe K. *Thermocouple* tipe K biasanya bekerja di sebagian besar penggunaan di industry minyak dan gas karena berbasis nikel dan memiliki ketahanan korosi yang baik. *Thermocouple* tipe K adalah tipe kalibrasi sensor paling umum yang menyediakan kisaran suhu pengoperasian terluas. Karena keandalan dan keakuratannya, *thermocouple* tipe K digunakan secara luas pada suhu hingga 2300°F (1260°C). Jenis *thermocouple* ini harus dilindungi dengan tabung pelindung logam atau keramik yang cocok, terutama dalam mengurangi atmosfer. Tipe K umumnya akan bertahan lebih lama dari Tipe J karena kawat JP cepat teroksidasi, terutama pada suhu yang lebih tinggi. [14]. Bentuk dari *thermocouple* tipe K dapat dilihat pada gambar 2.7.



Gambar 2.7 Thermocouple Tipe K

Fungsi transfer yang dimiliki oleh *thermocouple* tipe K ini adalah sebagai berikut:

$$\frac{T(s)}{U(s)} = \frac{K}{\tau_b s + 1} \quad (2.24)$$

Dengan K adalah sebagai berikut :

$$K = \frac{\Delta \text{Output}}{\Delta \text{Input}} \quad (2.25)$$

Keterangan :

K = Gain Flow Transmitter

ΔOutput = $I_{\text{Maksimum}} - I_{\text{minimum}}$

ΔInput = $T_{\text{maksimum}} - T_{\text{minimum}}$

$$\tau = \text{Time Constant (s)}$$

2.5 Mode Pengendalian PI

Variasi kontrol Proportional Integral Derivative (PID) adalah dengan menggunakan hanya istilah proporsional dan integral sebagai kontrol PI. Pengontrol PI adalah variasi yang sering digunakan, bahkan lebih dari pengontrol PID lengkap. Nilai keluaran pengontrol $u(t)$ dimasukkan ke dalam sistem sebagai input variabel yang dimanipulasi.

$$e(t) = SP - PV \quad (2.26)$$

$$u(t) = ubias + Kce(t) + Kct \int t_0 e(t) dt \quad (2.27)$$

Ubias adalah konstanta yang biasanya disetel ke nilai $u(t)$ saat pengontrol pertama kali dialihkan dari mode manual ke otomatis. Ini memberikan transfer "bumpless" jika kesalahannya nol ketika controller dihidupkan. Dua nilai tuning untuk kontroler PI adalah gain kontroler, K_c dan konstanta waktu integral τ_I . Nilai K_c merupakan pengali pada kesalahan proporsional dan suku integral dan nilai yang lebih tinggi membuat pengontrol lebih agresif dalam merespon kesalahan jauh dari set point. Set point (SP) adalah nilai target dan variabel proses (PV) adalah nilai terukur yang mungkin menyimpang dari nilai yang diinginkan. Kesalahan dari set point adalah perbedaan antara SP dan PV dan didefinisikan sebagai $e(t) = SP - PV$ [12]

Spesifikasi respons transien atau karakteristi dari sistem kontrol praktis sering menunjukkan osilasi yang kemudian teredam sebelum mencapai kondisi tunak. Dalam menentukan karakteristik respon transien dari sistem kontrol berdasarkan input unit *step*, ada beberapa karakteristik sebagai berikut [13] :

1. *Delay time, t_d*

Delay time adalah waktu yang diperlukan untuk respons mencapai setengah dari nilai akhir pada kali pertama.

2. *Rise time, t_r*

Rise time adalah waktu yang diperlukan untuk respon naik dari 10% menjadi 90%, 5% menjadi 95%, atau 0% menjadi 100% dari nilai akhirnya.

3. *Peak time, t_p*

Peak time adalah waktu yang diperlukan respons untuk mencapai puncak pertama dari *overshoot*.

4. *Maximum overshoot, M_p*

Maximum overshoot adalah nilai puncak maksimum dari kurva respon [kurva $c(t)$ dengan t], diukur dari $c(\infty)$. Jika $c(\infty) = 1$, persentase *maximum overshoot* adalah $M_p \times 100\%$.

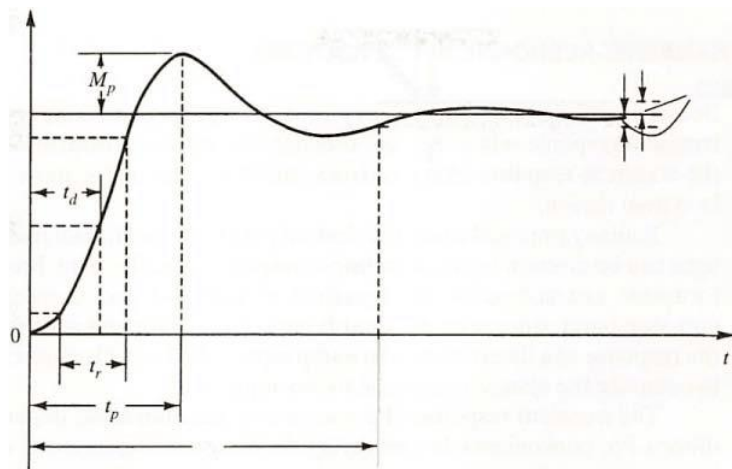
$$\text{Presentase overshoot maksimum} = \frac{c(t_p) - c(\infty)}{c(\infty)} * 100\% \quad (2.28)$$

Jumlah dari overshoot maksimum (persen) secara langsung menunjukkan stabilitas relatif sistem.

5. *Settling time, t_s*

Settling time adalah waktu yang diperlukan ketika kurva respons mencapai dan konstan dalam 2% dari nilai akhir.

Spesifikasi ini ditampilkan secara grafis pada Gambar 2.8 yang ditunjukkan sebagai berikut:



Gambar 2.8 Karakteristik Respon Sistem [13]

2.6 Controller Berbasis Logic Solver

Berdasarkan informasi dari *engineer* PT. Saka Indonesia Pangkah Limited dan P&ID Gas Turbin Generator Centaur 40 diketahui *control* yang digunakan untuk mengendalikan *control valve* untuk mengatur suplai udara menuju *combustion chamber* menggunakan PID *controller*. Oleh karena itu diperlukannya suatu pengendalian untuk mengatur *control valve* yang sesuai dengan kondisi operasi gas turbin di lapangan agar apabila terdapat temperatur yang terlalu panas hingga mencapai 1573 kelvin di *combustion chamber* dapat dengan mudah teratasi.

Logic solver merupakan sebuah fungsi sebab akibat yang terdapat pada Simulink di *software* matlab. Kontroler pembuat keputusan ini dapat digunakan dengan tools

diagram table kebenaran aljabar Boolean klasik pada *library* Simulink. Sel dipilih tergantung pada nilai-nilai ekspresi boolean terkait dengan nilai input variabel. Sel berisi tindakan, yang dieksekusi ketika sel tertentu dipilih [15]. *Logic solver* pada simulink merupakan blok *truth table* yang ditunjukan oleh gambar 2.9.

The screenshot shows the Stateflow interface with the title bar "ex_first_truth_table > Chart > ttable1". Below the title bar are two tables:

- Condition Table:** A table with columns "DESCRIPTION", "CONDITION", and "D1". It has one row labeled "1" with the value "-" in the D1 column. Below the table is a note: "ACTIONS: SPECIFY A ROW FROM THE ACTION TABLE".
- Action Table:** A table with columns "DESCRIPTION" and "ACTION". It has one row labeled "1".

Gambar 2. 9 Tabel Kebenaran dalam *Stateflow* [15]

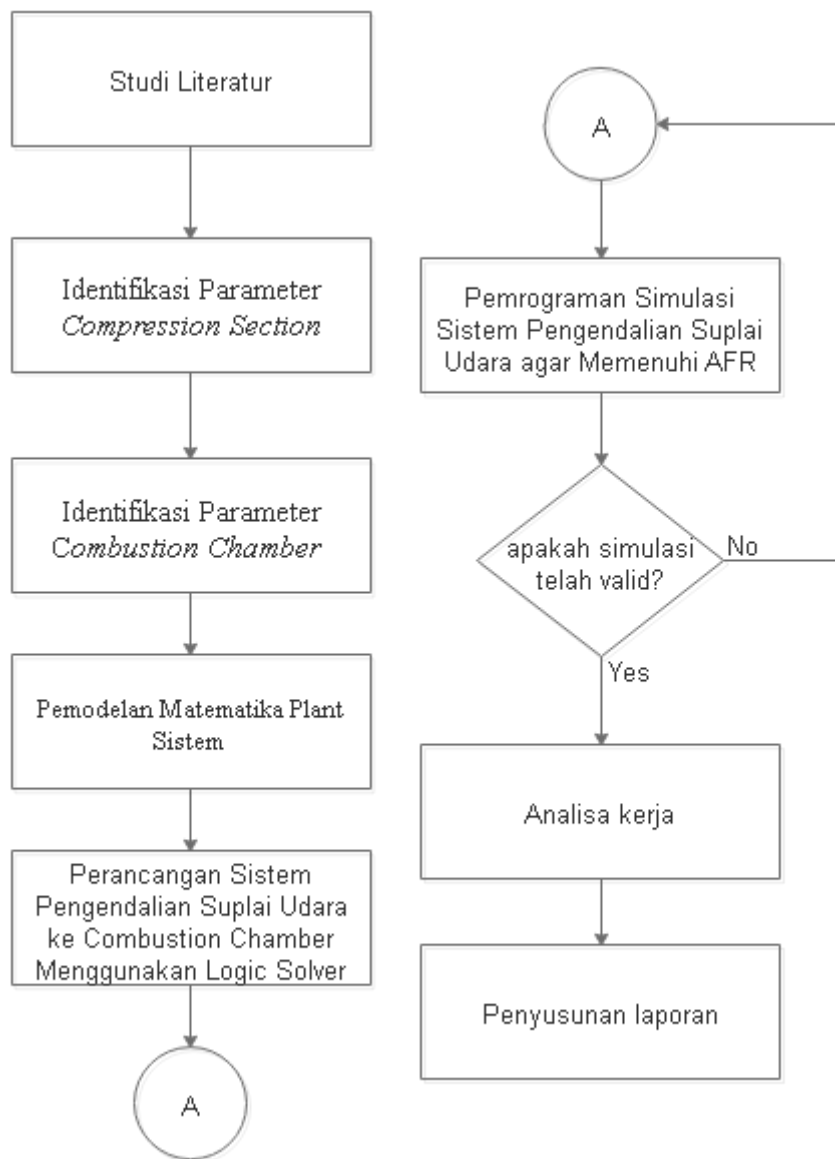
Pada table kebenaran terdapat dua tabel yaitu tabel kondisi dan tabel aksi. Setiap kondisi yang dimasukkan dalam kolom Kondisi harus dievaluasi ke true (nilai bukan nol) atau false (nilai nol) dimana pada pengendalian suplai udara kondisi yang harus terpenuhi adalah kondisi laju aliran massa pada keluaran *compression section* untuk pembakaran dan pendinginan yang memiliki rasio 30:70 dengan nilai maksimal laju aliran massanya adalah 7.783 Kg/s. Hasil untuk setiap kondisi ditentukan sebagai T (benar), F (salah), atau - (benar atau salah). Setiap kolom keputusan menggabungkan hasil untuk setiap kondisi dengan logika AND ke dalam kondisi gabungan, yang disebut sebagai keputusan. Tabel aksi pada *truth table* berguna sebagai tindakan yang akan dilakukan oleh *logic solver* dimana untuk tugas akhir ini keluaran pada *logic solver* berupa sinyal analog untuk mengendalikan *control valve* yang mengatur suplai laju aliran massa udara untuk pembakaran dan pendinginan.

Pada tugas akhir ini diberikannya *logic solver* berguna sebagai pemberi *safety* ketika temperatur di *combustion chamber* melebihi batas temperatur normal yang mampu ditampung oleh *combustion chamber* yaitu 1573 kelvin. Sehingga akan diberi dua kondisi dan dua aksi pada *logic solver* yaitu kondisi ketika temperatur berada di kondisi yang normal yaitu dibawah 1573 kelvin beserta aksinya serta ketika temperatur di *combustion chamber*

Halaman ini sengaja dikosongkan

BAB III

METODOLOGI PENELITIAN



Gambar 3. 1 Flowchart Alur Penelitian

3.1 Identifikasi Parameter *Compression Section*

Studi literatur dilakukan untuk mengetahui parameter fisis yang terjadi di *compression section* yang kemudian diterapkan pada persamaan matematika yang terjadi di *compression section* untuk mengetahui laju aliran massa yang keluar dari *compression section* berdasarkan masukan daya untuk kompresor. Dari data

yang didapatkan dari *engineer* PT. Saka Energi Pangkah Limited didapatkan data yang ditunjukan pada tabel 3.1 sebagai berikut:

Tabel 3. 1 Identifikasi Parameter *Compression Section*

h1 (kj/kg)	298.0113
h2 (kj/kg)	609.37848
Laju aliran massa udara (kg/s)	2,658495019 – 7,783079829

Digunakan sampel data laju aliran massa udara yang dihasilkan kompresor ketika kecepatan kompresor mencapai 100% yang dijaga konstan yaitu 7.786 kg/s. Kemudian apabila model simulasi telah tervalidasi yang ditunjukan dengan laju aliran massa udara yang dihasilkan kompresor adalah 7.786 kg/s dengan *air-fuel ratio* 15.624 dan temperature pembakaran yang terjadi di *combustion chamber* 1211.07558 kelvin maka akan dilihat perbandingannya ketika temperatur mencapai batas maksimal yang mampu ditampung di *combustion chamber* yaitu 1573 kelvin.

3.2 Identifikasi Parameter *Combustion Chamber*

Setelah melakukan studi literatur dan pengambilan data berdasarkan keadaan di lapangan selanjutnya didapatkan data *combustion chamber* yaitu laju aliran massa bahan bakar, laju aliran massa udara, temperature serta enthalpy *combustion chamber*, efisiensi *combustion chamber* dan *heat value* dari gas alam yang telah fitampulkan pada tabel 3.2. Dimana penentuan parameter tersebut berdasarkan persamaan matematik yang telah dijabarkan pada persamaan (2.9). Sehingga didapatkan data parameter pembakaran yang trejadi di *combustion chamber* dari *engineer* PT. Saka Indonesia Pangkah Limited sebagai berikut:

Tabel 3. 2 Identifikasi Parameter *Combustion Chamber*

T3 (K)	1211.07558
h3 (kj/kg)	2154,951418
AFR	15.624
Kslor pada <i>combustion chamber</i>	4.970226741
Laju aliran massa udara (kg/s)	1,945769957
Laju aliran massa bahan bakar (kg/s)	0,124536

Tabel 3.2 merupakan data berdasarkan kondisi operasi di lapangan dimana untuk efisiensi dari *combustion chamber* berasal dari perhitungan yang didapatkan dari *air-fuel ratio* terendah dari kondisi operasi Gas Turbin Generator Centaur 40 PT, Saka Indonesia Pangkah Limited. Sampel data laju aliran massa bahan bakar yang digunakan untuk validasi model Simulink adalah 0.124536 kg/s. Setelah tervalidasi maka akan dibandingkan ketika temperature di *combustion chamber* mencapai batas maksimal yang mampu ditampung yaitu 1573 kelvin.

3.3 Pemodelan Sistem Pengendalian Suplai Udara ke *Combustion Chamber*

Pemodelan disini menjabarkan model matematik dari tiap-tiap komponen yang ada pada sistem pengendalian suplai udara melalui *control valve* ke *combustion chamber*. Model matematik diberikan berdasarkan persamaan-persamaan yang mendasar yang telah disajikan pada bab 2.

3.3.1 Pemodelan *Compression Section*

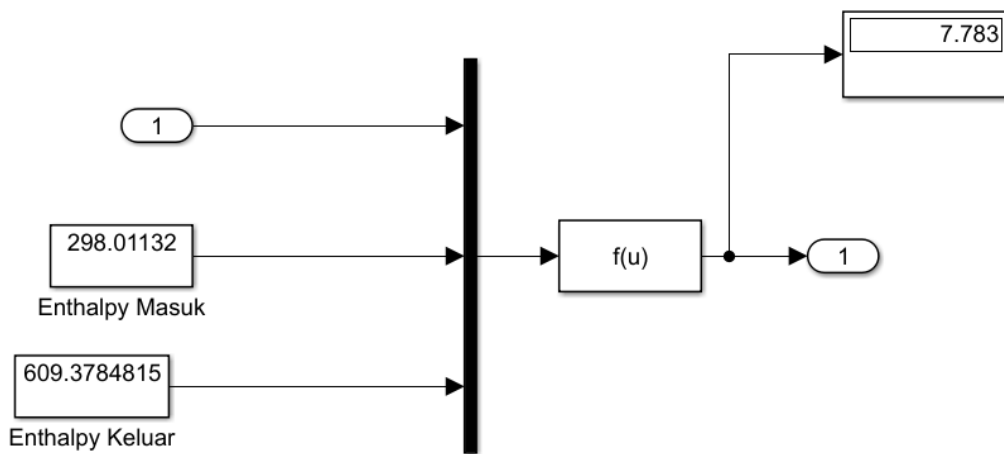
Pemodelan *compression section* menggunakan persamaan hubungan antara daya yang diberikan kepada kompresor dengan laju aliran massa udara yang dapat dihasilkan. Digunakan sampel data laju aliran massa udara maksimum yang dihasilkan oleh kompresor dilapangan yaitu 7.783 kg/s untuk mengetahui daya yang diperlukan sehingga berdasarkan persamaan dan data lapangan yang telah diketahui didapatkan perhitungan dari persamaan kompresor sebagai berikut:

$$\dot{W}_c = \dot{m} * (h(T_{out}) - h(T_{in})) \quad (3.1)$$

$$\dot{W}_c = 7.783 * (609.37848 - 298.0113) \quad (3.2)$$

$$\dot{W}_c = 2423.395474 \quad (3.3)$$

Dari perhitungan diatas didapatkan daya yang perlu diberikan agar kompresor menghasilkan laju aliran massa udara terendah yaitu 7.783 kg/s adalah 2423.395474Watt, dari laju aliran massa udara yang telah diketahui berdasarkan daya kompresor maka dapat dilakukan validasi model melalui Simulink yang ditunjukkan pada gambar 3.2. Setelah tervalidasi maka dikendalikan *control valve* suplai bahan bakar agar memenuhi mencapai batas maksimal temperature yang mampu ditampung oleh *combustion chamber* yaitu 1573 kelvin.



Gambar 3. 2 Pemodelan *Compression Section* pada Simulink

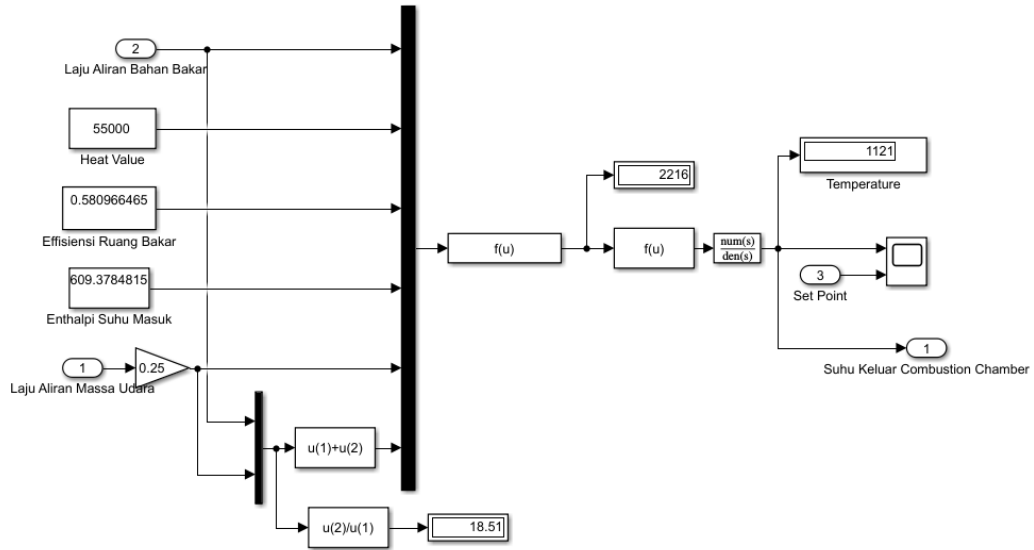
3.3.2 Pemodelan Ruang Pembakaran (*Combustion Chamber*)

Pemodelan *combustion chamber* mengacu pada laju aliran massa (\dot{m}) sebagai input *combustion chamber* yaitu laju aliran massa udara dari kompresor dan laju aliran bahan bakar *combustion chamber*. Kedua laju aliran massa tersebut menghasilkan *fuel-air ratio* untuk bahan bakar gas alam, dengan nilai optimum *fuel-air ratio* 17.2. Persamaan laju udara dan bahan bakar pada *combustion chamber* adalah sebagai berikut:

$$\eta_b = \frac{1}{0.1245*55000} ((2.070306 * 2494.8157) - (1.94577 * 609.37848)) \quad (3.4)$$

$$\frac{\frac{0.581}{1} + (1.94577 * 609.37848)}{2.070306 * 2494.8157} = T_{out} \quad (3.5)$$

Dari efisiensi *combustion chamber* yang telah didapatkan maka diperoleh pemodelan Simulink *combustion chamber* sebagai berikut:



Gambar 3. 3 Pemodelan Combustion Chamber Menggunakan Aplikasi Simulink

Berdasarkan gambar 3.3 dengan masukan laju aliran massa udara dan laju aliran massa bahan bakar didapatkan nilai suhu keluaran *combustion chamber* 1121 kelvin.

3.3.3 Pemodelan *Control Valve* Suplai Udara (FV 7076)

Terdapat dua *Control valve* sebagai pengatur suplai laju aliran massa menuju *combustion chamber* yaitu *control valve* yang menggunakan aktuator berupa motor elektrik sebagai pengatur suplai udara dan *control valve* untuk suplai bahan bakar. Pada *control valve* suplai udara yaitu *control valve* FV 7076 didapatkan fungsi transfer sebagai berikut:

$$\frac{\dot{m}_s(s)}{U(s)} = \frac{K}{\tau_v s + 1} \quad (3.6)$$

Keterangan:

$$\dot{m}_s(s) = \text{laju aliran udara } \left(\frac{kg}{s} \right)$$

$$U(s) = \text{sinyal masukan ke control valve (mA)}$$

$$K = \text{gain control valve}$$

$$\tau_v = \text{time constant control valve (s)}$$

Diketahui *control valve* suplai udara dari *compression section* menuju *combustion chamber* memiliki data lapangan yang ditunjukkan pada tabel 3.3 sebagai berikut.:

Tabel 3.3 Data lapangan Flow Control Valve pada Compression Section Menuju *Combustion Chamber*

Range laju aliran massa	0 – 7,783079829 kg/s
Sinyal analog	(4 – 20) mA
Time constant (τ_s)	0.85 detik
Sinyal Pneumatic	(3 – 15) Psi

Gain control valve dapat diketahui dengan menggunakan model matematis sebagai berikut:

$$\text{Gain I/P} : G_{I/P} = \frac{15-3 \text{ psi}}{20-4 \text{ mA}} = 0.75 \quad (3.7)$$

$$\text{Gain Positioner} : G_P = \frac{300-100 \text{ psi}}{15-3 \text{ psi}} = 16.666666 \quad (3.8)$$

$$\text{Gain Valve} : G_v = \frac{100\%-0}{300-100} = 0.005 \quad (3.9)$$

$$\text{Gain Proses} : G_{Pr} = \frac{8.661008-0 \text{ kg/s}}{100-0 \%} = \frac{7,783079829}{100\%} \quad (3.10)$$

Sehingga diperoleh gain total control valve sebagai berikut :

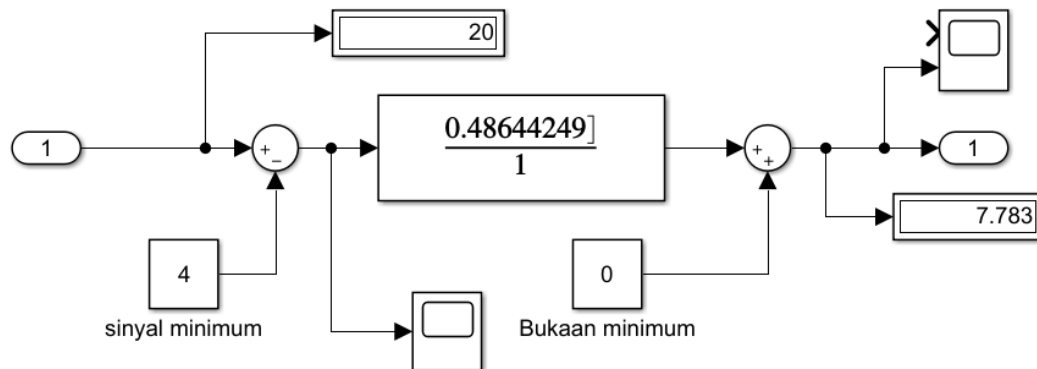
$$Kv = G_{I/P} * G_P * G_v * G_{Pr} \quad (3.11)$$

$$Kv = 0.75 * 16.666667 * 0.005 * \frac{7,783079829}{100\%} = 0.48644249 \quad (3.12)$$

Dari perhitungan yang telah dilakukan maka didapatkan fungsi transfer *control valve* sebagai berikut:

$$Gcv = \frac{0.48644249}{0.85s+1} \quad (3.13)$$

Setelah didapatkan fungsi transfer *control valve* maka dilakukan pemodelan menggunakan Simulink dan didapatkan hasil sebagai berikut:



Gambar 3.4 Pemodelan Control Valve Suplai Udara Menggunakan Aplikasi Simulink

Masukan yang ditunjukkan pada model simulink yang ditunjukkan oleh gambar 3.4 merupakan laju aliran massa udara yang dikendalikan *control valve* untuk memberikan bukaan yang sesuai dengan laju aliran massa udara yang dihasilkan kompresor. Sinyal pengendali yang dihasilkan oleh *logic solver* menghasilkan bukaan pada *control valve* untuk memberikan bukaan yang sesuai dengan laju aliran massa udara yang dihasilkan kompresor. Dengan menggunakan masukan sinyal analog dari *logic solver* dengan nilai 20 mA didapatkan keluaran berupa laju aliran massa udara 7.783 kg/s. Namun ketika udara telah memasuki *combustion chamber* terdapat *diffuser* yang berfungsi sebagai pembagi laju aliran massa udara yang akibatnya untuk pembakaran hanya digunakan 25% dari suplai udara yang dihasilkan oleh kompresor dan sisanya digunakan untuk pendinginan. Laju aliran massa udara tersebut digunakan sebagai sampel data untuk validasi model. Setelah model telah tervalidasi maka akan digunakan laju aliran massa udara ketika temperatur 1573 kelvin.

3.3.4 Pemodelan *Control Valve* Suplai Bahan Bakar (FCV 7065)

Control valve pada suplai bahan bakar menggunakan aktuator elektrik yang digunakan untuk mengatur suplai laju aliran massa bahan bakar agar memenuhi *air-fuel ratio* pada *combustion chamber* dan temperatur yang sesuai *dengan set point*. Digunakan persamaan yang sama dengan *control valve* suplai udara dan didapat fungsi transfer sebagai berikut:

$$\frac{\dot{m}_s(s)}{U(s)} = \frac{K}{\tau_v s + 1} \quad (3.14)$$

Keterangan:

$$\dot{m}_s(s) = \text{laju aliran bahan bakar } \left(\frac{kg}{s} \right)$$

$U(s) = \text{sinyal masukan ke control valve (mA)}$

$K = \text{gain control valve}$

$\tau_v = \text{time constant control valve (s)}$

Diketahui *control valve* suplai bahan bakar menuju *combustion chamber* memiliki data lapangan yang ditunjukkan pada tabel 3.4 sebagai berikut:

Tabel 3.4 Data lapangan Flow Control Valve bahan bakar Menuju Combustion

<i>Range laju aliran massa</i>	$0 - 0.126475 \text{ kg/s}$
Sinyal analog	$(4 - 20) \text{ mA}$
<i>Time constant (τ_s)</i>	0.103 detik

Gain control valve dapat diketahui dengan menggunakan model matematis sebagai berikut:

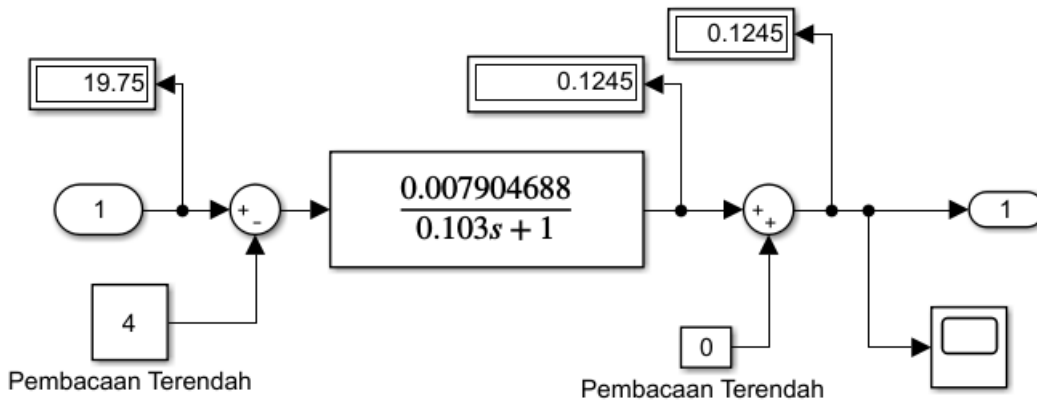
$$K = \frac{\text{Laju aliran maksimum} - \text{Laju aliran minimum}}{\text{Perubahan Masukkan}} \quad (3.15)$$

$$k = \frac{0.126475 - 0}{20 - 4} = 0.007904688 \quad (3.16)$$

Dari data-data yang didapat maka fungsi transfer *control valve* adalah sebagai berikut:

$$Gcv = \frac{0.007904688}{0.103s + 1} \quad (3.17)$$

Dari fungsi transfer yang telah didapatkan maka dilakukan pemodelan *control valve* suplai bahan bakar dengan menggunakan sampel data suplai bahan bakar 0.1245 kg/s yang ditunjukan dengan model simulink pada gambar 3.5 sebagai berikut:



Gambar 3. 5 Pemodelan *Control Valve* Suplai Bahan Bakar Menggunakan Aplikasi Simulink

Dapat dilihat dari pemodelan Simulink diatas, *logic solver* memberikan sinyal pengendali 19.75 mA yang kemudian menghasilkan bukaan pada *control valve* sehingga menghasilkan laju aliran massa bahan bakar 0.1245 kg/s. Sampel data tersebut digunakan sebagai validasi model sistem pada simulink.

3.3.5 Pemodelan *Temperature Transmitter* (TT 1501)

Pengukuran suhu dilakukan dengan menggunakan *temperature transmitter thermocouple* tipe k dengan keluaran sinyal analog 4-20 mA dan masukan suhu yang diukur 3–1533 kelvin maka didapatkan fungsi transfer *temperature transmitter* sebagai berikut:

$$\frac{f(s)}{U(s)} = \frac{K}{\tau_v s + 1} \quad (3.18)$$

Dengan K adalah sebagai berikut :

$$K = \frac{\Delta Output}{\Delta Input} \quad (3.19)$$

Keterangan :

K = Gain Flow Transmitter

$\Delta Output$ = $I_{Maksimum} - I_{minimum}$

$\Delta Input$ = $f_{maksimum} - f_{minimum}$

τ = 1 detik

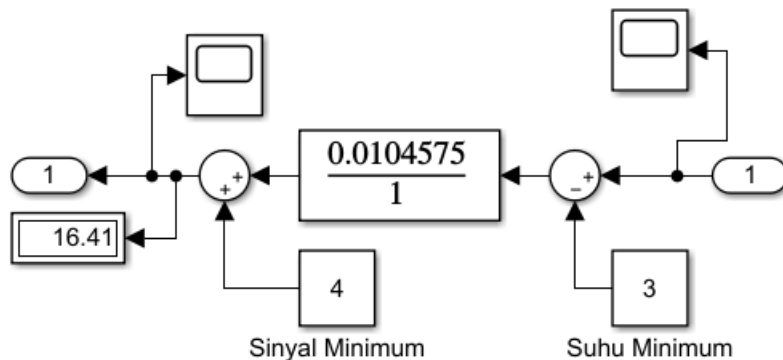
Gain flow transmitter dapat diketahui dengan menggunakan model matematis sebagai berikut:

$$K = \frac{\text{Perubahan Keluaran}}{\text{Laju Aliran Maksimum} - \text{Laju Aliran Minimum}} \quad (3.20)$$

$$k = \frac{20-4}{1533-3} = 0.0104575 \quad (3.21)$$

Dari data-data yang didapat maka fungsi transfer *flow transmitter* adalah sebagai berikut:

$$\frac{U(s)}{f(s)} = \frac{0.0104575}{1} \quad (3.22)$$



Gambar 3. 6 Pemodelan *Temperature Transmitter* pada Keluaran *Combustion Chamber* Menggunakan Aplikasi Simulink

Dapat dilihat dari gambar 3.6, ketika *combustion chamber* menghasilkan temperatur 1190 kelvin *temperature transmitter* menghasilkan sinyal analog dengan nilai 16.41 mA.

3.4 Perancangan Sistem Pengendalian Suplai Udara ke *Combustion Chamber*

Pertama dilakukan perancangan sistem pengendalian tememperature pada *combustion chamber*. Variabel control pada pengendalian ini adalah temperatur pembakaran di *combustion chamber* dan variabel manipulasinya adalah suplai bahan bakar dengan menggunakan mode pengendalian proportional integral (PI). Sehingga didapatkan fungsi transfer sistem sebagai berikut:

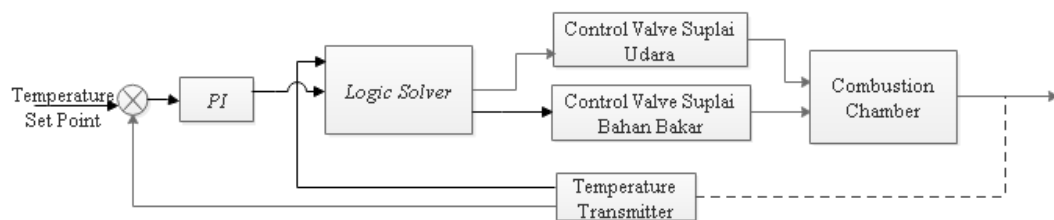
$$\frac{C(s)}{R(s)} = \frac{K \left(\frac{0.007904688}{0.103s+1} \right) \left(\frac{20032.888}{1.5s} \right)}{1+k(0.0104575) \left(\frac{0.007904688}{0.103s+1} \right) \left(\frac{20032.888}{1.5s} \right)} = \frac{158.3537K}{0.1545s^2 + 1.603s + 1.655984K} \quad (3.23)$$

Sehingga dari fungsi transfer sistem tersebut didapatkan nilai K_p dan T_i sebagai berikut:

$$K_p = 0.701821$$

$$Ti = 1.308333$$

Perancangan sistem pengendalian dilakukan dengan mengacu pada diagram blok sistem pengendalian mode *feed back* atau *close loop*. Perancangan sistem pengendalian dilakukan agar suplai udara menuju *combustion chamber* memiliki batas maksimal *air-fuel* yaitu 17.12 untuk gas alam dan memberikan *safety* pada pembakaran di *combustion chamber* untuk tidak mencapai di temperature 1573 kelvin. Dengan kata lain massa laju udara dan bahan bakar adalah variable proses sedangkan pengendalian suplai udara menggunakan *control valve* adalah variable control. Pada sistem pengendalian ini digunakan mode *control proportional integral* (PI) untuk mengendalikan temperature pembakaran di *combustion chamber* dengan variabel manipulasinya adalah suplai bahan bakar dengan suplai udaranya dikendalikan di laju aliran massa yang maksimal secara konstan dengan *logic solver*. Namun apabila temperature di *combustion chamber* terlalu panas maka *logic solver* akan memberikan sinyal kendali pada suplai bahan bakar dengan sinyal analog yang bernilai 5 mA agar suplai bahan bakar berkurang dikarenakan bukaan *control valve* yang hampir menutup sehingga suhu pembakaran di *combustion chamber* masih di temperature yang aman dibawah 1573 kelvin. Kemudian diambil beberapa data yang digunakan sebagai variable untuk membuktikan bahwa sistem pengendalian suplai udara bekerja dengan baik dalam menjaga temperature tetap dibawah 1573 kelvin.



Gambar 3. 7 Diagram blok Sistem Pengendalian Udara ke *Combustion Chamber*

Logic solver berfungsi sebagai pengendali *control valve* suplai udara untuk pembakaran dan bahan bakar dimana masukan yang digunakan untuk menentukan aksi *logic solver* berdasarkan data pembacaan error *temperature transmitter* dengan *set point* dan *temperature transmitter* dari temeperatur pembakaran yang dihasilkan

combustion chamber, aksi yang dilakukan berdasarkan logika yang telah diatur sebagai berikut:

Condition Table						
	DESCRIPTION	CONDITION	D1	D2	D3	
1	suhu dibawah 1573 kelvin	$t>=4 \& \& t<20$	T	F	-	
2	suhu diatas atau sama dengan 1573 kelvin	$t>=20$	F	T	-	
		ACTIONS: SPECIFY A ROW FROM THE ACTION TABLE	u1	u2	u1	

Action Table		
	DESCRIPTION	ACTION
1	suhu dibawah 1573 kelvin	u1: u=e; y=20;
2	suhu diatas 1573 kelvin	u2: u=5; y=20;

Gambar 3.8 Tabel Aksi dan Tabel Kondisi pada *Logic Solver*

Tabel kondisi yang digunakan pada *logic solver* ketika suhu dibawah 1573 kelvin adalah ketika kondisi temperature pembakaran di *combustion chamber* memiliki rentan $3 - 1573 \text{ kelvin}$ atau ketika dibaca oleh *temperature transmitter* memiliki rentan $4 - 20 \text{ mA}$. Jadi maksud dari tabel kondisi di baris pertama yang ditunjukan dengan “ $t>=4 \& \& t<=20$ ” adalah ketika bacaan *temperature transmitter* yang ditunjukan dengan variabel ‘t’ lebih dari sama dengan 4 dan kurang dari sama dengan 20 maka pada kolom ‘D1’ atau *decision 1* pada baris pertama akan diberikan huruf T yang berarti *true* atau terpenuhi sedangkan pada kolom ‘D1’ pada baris kedua diberikan ‘F’ yang berarti tidak terpenuhi sehingga pada baris paling terakhir pada kolom ‘D1’ akan diberi aksi ‘u1’ yang kemudian akan berlanjut pada tabel aksi. Pada tabel aksi dilihat pada deskripsi “suhu dibawah 1573 kelvin” maka pada

kolom ‘ACTION’ terdapat aksi ‘u1’ yang berarti meneruskan dari kondisi yang terpenuhi di tabel kondisi dengan memberikan aksi berupa $u=e$ dan $y=20$ yang berarti e adalah variabel untuk error *temperature transmitter* terhadap *set point* yang dengan kata lain sinyal kendali dari PI akan mengendalikan *control valve* suplai bahan bakar sehingga temperature pada *combustion chamber* sesuai dengan *set point* dibawah 1573 kelvin dan diatas 3 kelvin sedangkan $y=20$ berarti *control valve* membuka 100% sehingga laju aliran massa udara yang dihasilkan adalah 7.783 kg/s. Diberikan bukaan 100% karena kompresor di lapangan memiliki kecepatan yang mencapai 100% yang menghasilkan laju aliran massa udara 7.783 kg/s yang secara teori ketika kecepatan putaran turbin pada kompresor dijaga konstan 100% maka laju aliran massa udara yang dihasilkan juga konstan [5].

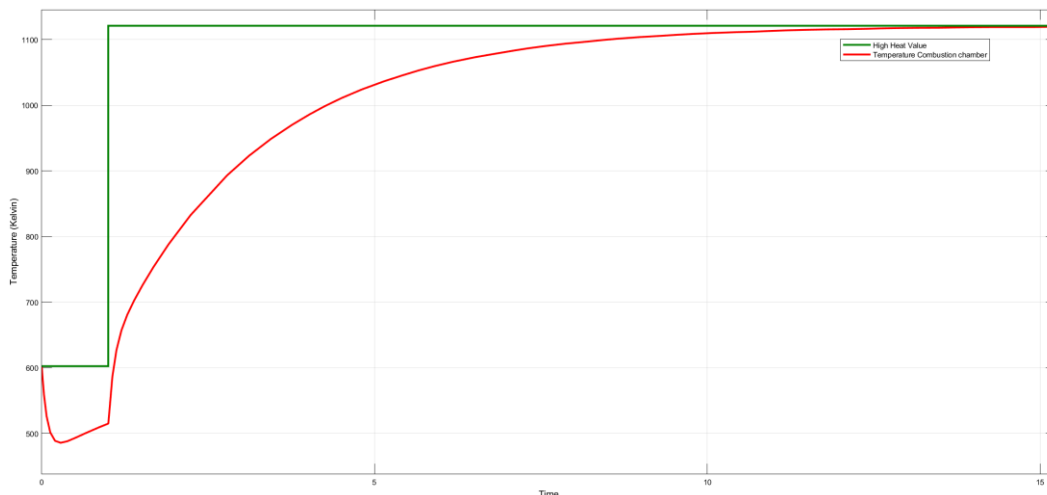
Untuk kondisi yang kedua yang ditunjukan pada baris kedua dari tabel kondisi menunjukan temperature melebihi batas maksimum yang bisa diterima oleh *combustion chamber* yaitu diatas 1573 kelvin yang ditunjukan dengan kondisi pada tabel ‘ $t>20$ ’ dimana variabel ‘ t ’ menunjukan bacaan *temperature transmitter* yang melebihi 20 mA sehingga tabel kondisi pada kolom ‘D2’ baris kedua akan menunjukan ‘T’ yang berati kondisi temperature pembakaran di *combustion chamber* memenuhi kondisi tersebut oleh karena itu *logic solver* akan berfungsi sebagai *safety* dengan memberikan aksi ‘u2’ dimana pada tabel aksi, ‘u2’ akan memberikan sinyal kendali $u=5mA$ dan $y=20$ mA yang berarti suplai bahan bakar akan menutup sekecil mungkin dan suplai udara tetap mengalirkan udara secara konstan. Hal ini digunakan untuk menghindari temperature yang berlibahan pada pembakaran di *combustion chamber*

Halaman ini sengaja dikosongkan

BAB IV

HASIL DAN PEMBAHASAN

Telah diberikan data *record* dari gas turbin generator mulai dari kompresor hingga *combustion chamber* yang telah disajikan pada metodologi penelitian. Sehingga dilakukan validasi dari data lapangan yang ada dengan melakukan simulasi menggunakan Simulink. Data validasi yang digunakan berdasarkan daya yang diberikan ketika kecepatan pada kompresor mencapai 100% yang dijaga konstan yaitu 2423.395474 watt menghasilkan laju aliran massa udara 7.783 kg/s. Kemudian *Temperature transmitter* pada sistem ini mampu membaca temperature pada *combustion chamber* dengan rentan 3 – 1573 kelvin atau pada sinyal analog adalah 4 – 20 mA. Dimana pada kondisi *logic solver* diharuskan sinyal analog yang dapat diterima oleh *logic solver* pada keadaan temperature yang aman adalah ketika temperature dibawah 1573 kelvin. Dan ketikan temperature diatas 1573 kelvin maka akan diberi aksi *safety* oleh *logic solver* dengan memberikan sinyal kendali pada *control valve* suplai udara 4 mA, sehingga didapatkan hasil simulasi yang ditunjukan pada gambar 4.1 sebagai berikut:



Gambar 4. 1 Kurva Reaksi Validasi Temperature *Combustion Chamber* pada Sistem Pengendalian Suplai Udara ketika Temperatur 1211 Kelvin
Kurva reaksi diatas terjadi ketika temperature di *combustion chamber* mencapai 1211 kelvin dan *air-fuel ratio* 15.64. Simulasi tersebut sesuai dengan data yang terjadi pada saat kondisi normal di lapangan ketika laju aliran massa udara yang dihasilkan kompresor mancapai maksimal yaitu 7.783 kg/s. Sehingga dapat

dikatakan model pada simulink telah tervalidasi. Berdasarkan kurva reaksi diatas didapatkan karakteristik respon sistem yang ditunjukan pada tabel 4.1 sebagai berikut:

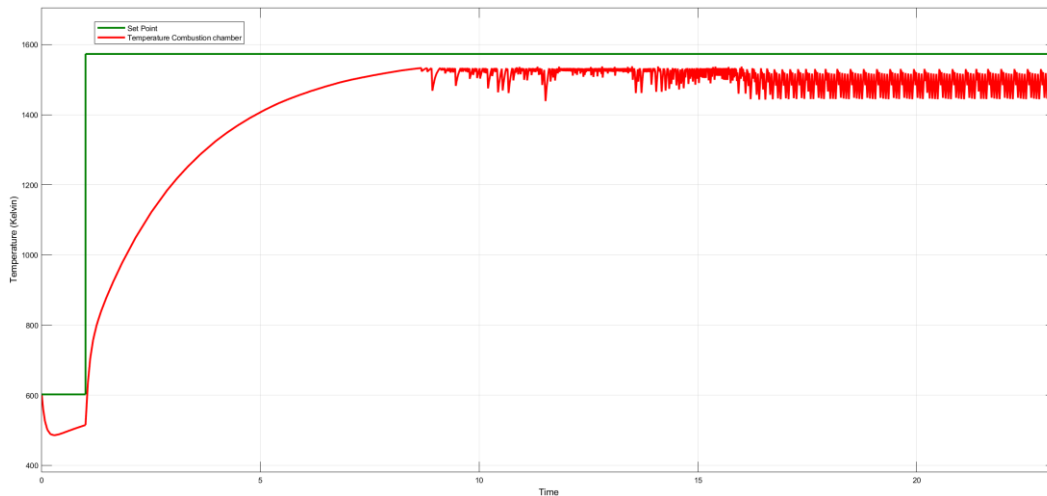
Tabel 4. 1 Karakteristik Respon Sistem ketika Temperatur 1121 Kelvin

Maksimum overshoot	0.505%
Rise time	3.909 detik
Settling Time	13.405 detik

Dibutuhkan waktu yang lama dalam mencapai *set point* dikarenakan pembakaran pada *combustion chamber* memang memerlukan waktu dalam mencapai pembakaran yang sempurna disisi lain pada *combustion chamber* juga diberikan pematik yang berlangsung hingga 10 detik agar pembakaran dapat terjadi dengan sempurna. Terjadi penurunan temperature sebelum mencapai *set point* dikarenakan pembakaran yang terjadi di *combustion chamber* masih belum sempurna dikarenakan suplai udara yang lebih cepat masuk dari bahan bakar yang dikarenakan pengaruh beda laju aliran massa. Sehingga udara yang lebih cepat masuk ke *combustion chamber* membuat temperature menurun. Berdasarkan tabel 4.1 respon sistem ketika temperatur mencapai 1121 kelvin mengalami maksimum *overshoot* 0.505% yang berarti pembakaran pada *combustion chamber* sempat mencapai tambahan 0.505% dari 1121 kelvin dengan kata lain temperatur pembakaran di *combustion chamber* ketika maksimum *overshoot* adalah 1126.6 kelvin. Kemudian *rise time* atau waktu yang diperlukan pembakaran dari 10% hingga 90% dari nilai akhirnya pada kurva reaksi menunjukan 3.9 detik.

Kemudian waktu yang diperlukan ketika kurva respons mencapai dan konstan dalam 2% atau *settling time* dari nilai akhir adalah 13.405 detik.

Kemudian dilakukan simulasi dengan set point yang melebihi batas normal temperature yang mampu ditampung oleh *combustion chamber* yaitu 1573 kelvin dan didapatkan kurva reaksi sistem sebagai berikut:



Gambar 4. 2 Kurva Reaksi Sstem Pengendalian Suplai Udara dengan Temperatur 1573 Kelvin.

Kurva reaksi pada gambar 4.2 terjadi ketika temperature di *combustion chamber* mencapai 1573 kelvin dan *air-fuel ratio* 15.06. Simulasi tersebut digunakan untuk membuktikan apakah *logic solver* mampu mengurangi temperature yang diberi set point 1573 kelvin dimana temperature tersebut merupakan temperature maksimal yg dapat ditampung oleh *combustion chamber* dengan laju aliran massa udara yang dihasilkan kompresor mancapai maksimal yaitu 7.783 kg/s. Berdasarkan kurva reaksi diatas temperature yang dihasilkan oleh *combustion chamber* berkurang dari set point 1573 kelvin menjadi 1531 kelvin, dengan ini berarti *logic solver* berhasil menjaga temperature di *combustion chamber* tetap dalam keadaan yang aman. Didapatkan karakteristik respon sistem yang ditunjukan pada tabel 4.2 sebagai berikut:

Tabel 4. 2 Karakteristik Respon Sistem ketika Temperatur 1573 Kelvin

overshoot	0.403%
Rise time	3.783 detik
Settling Time	-

Berdasarkan tabel 4.2 karakteristik respon sistem ketika temperatur mencapai 1573 kelvin mengalami maksimum *overshoot* 0.403% yang berarti pembakaran pada *combustion chamber* sempat mencapai tambahan 0.403% dari 1573 kelvin dengan kata lain temperatur pembakaran di *combustion chamber* ketika maksimum *overshoot* adalah 1579.3 kelvin. Kemudian *rise time* atau waktu yang diperlukan pembakaran dari 10% hingga 90% dari nilai akhirnya pada kurva reaksi menunjukkan 3.783 detik. Kemudian waktu yang diperlukan ketika kurva respons mencapai dan konstan dalam 2% atau *settling time* dari nilai akhir tidak didapatkan karena kurva reaksi dari sistem yang terus berosilasi.

BAB V

KESIMPULAN DAN SARAN

5.1 Kesimpulan

Berdasarkan Analisa data dari penelitian yang telah dilakukan maka didapatkan kesimpulan sebagai berikut:

1. Sistem pengendalian suplai udara menuju *combustion chamber* dengan menggunakan *control valve* suplai udara dan bahan bakar dapat dilakukan dengan mendapatkan data *record* dari kondisi yang terjadi di lapangan seperti temperature, enthalpy dan laju aliran massa yang terjadi pada 3 januari hingga 4 februari. Data yang sudah didapatkan akan diolah dan didapatkan fungsi transfer dari sistem pengendalian mode PI. Kemudian dari sistem pengendalian mode PI diberikan *safety* agar temperature di *combustion chamber* tidak mencapai batas maksimal temperature yang dapat ditampung yaitu 1573 kelvin dengan menggunakan *logic solver*. Dengan menggunakan bacaan *temperature transmitter* sebagai masukan *logic solver* temperature di *combustion chamber* tetap terjaga dibawah 1573 kelvin.
2. Berdasarkan hasil dari simulasi sistem pengendalian suplai udara menuju *combustion chamber* dengan Simulink, didapatkan temperature pada *combustion chamber* ketika laju aliran massa udara maksimal dari kompresor 7.783 kg/s dan suplai bahan bakar 0.1245 kg/s didapatkan temperature 1121 kelvin dimana hal ini sesuai dengan data operasi ketika kondisi normal di lapangan. Kemudian set point pada sistem pengendalian ditingkatkan hingga ke batas maksimal yaitu 1573 kelvin dan didapatkan temperature yang dihasilkan di *combustion chamber* menjadi 1531 kelvin, yang berarti *logic solver* berhasil menurunkan temperature dari batas maksimal temperature pembakaran.

5.2 Saran

Saran yang dapat diberikan pada tugas akhir ini adalah alangkah baiknya pada perusahaan yang bersangkutan pada tugas akhir ini memberikan data yang lengkap baik datasheet dari setiap instrument maupun data lapangan yang aktual dan untuk penelitian kedepannya dapat diberikan pemodelan sistem gas turbin generator lebih detail dengan menambahkan komponen turbin dan kompresor pada simulasinya

sehingga simulasi dapat memberikan hasil yang lebih akurat dengan kondisi yang sebenarnya di lapangan.

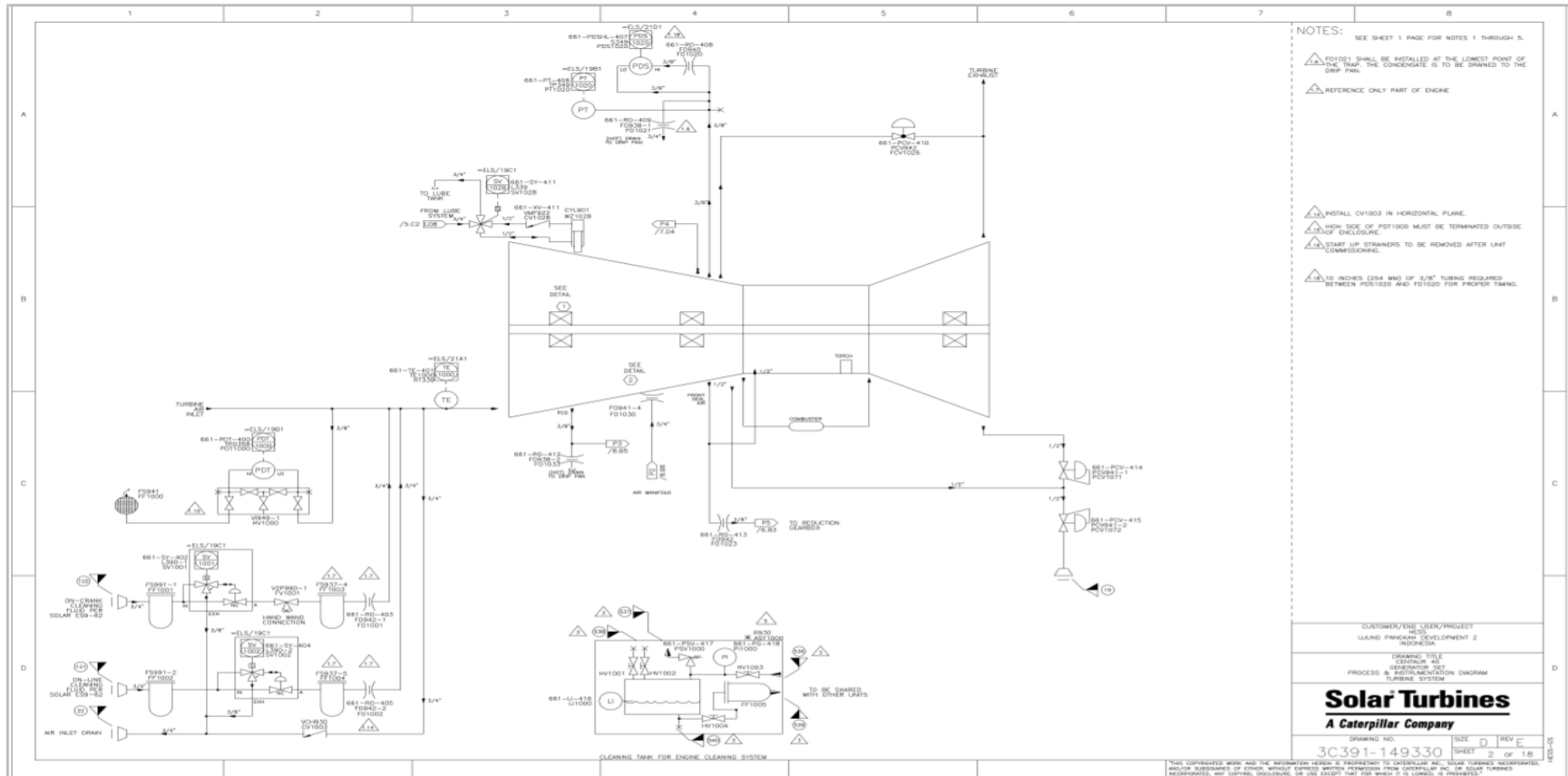
DAFTAR PUSTAKA

- [1] B. Triyono, 11 November 2015. [Online]. Available: <https://documents.pub/document/2-industrial-gas-turbine-engine.html>.
- [2] R. T. Sujono, "Simulasi Numerik Karakteristik Pembakaran Bahan Bakar Cair pada Aliran Double Concentric Diffusion Jet Flame Dengan CFD," 2002.
- [3] A. Razak, "Gas Turbine Combustion," dalam *Industrial Gas Turbines Performance and Operability*, Cambridge, Woodhead Publishing Limited and CRC Press LLC, 2007, pp. 137-146.
- [4] cs.stanford.edu, 16 3 2004. [Online]. Available: <https://cs.stanford.edu/people/eroberts/courses/ww2/projects/jet-airplanes/how.html>.
- [5] S. R. Gaudet, "Development of Dynamic Modeling and Control System Design Methodology for Gas Turbines," *Department of Mechanical and Aerospace Engineering, Carleton University,,* 2007.
- [6] A. W. James dan S. Rajagopalan, "Structural Alloys for Power Plants Operational Challenges and High-Temperature Materials," *Woodhead Publishing Series in Energy*, p. 3, 2014.
- [7] P. Breeze, "Gas Turbines," dalam *Gas Turbines Power Generation*, Amsterdam, Academic Press, 2016, pp. 31-42.
- [8] E. Thirunavukarasu , "Modeling and Simulation Study of A Dynamic Gas Turbine System In A Virtual Test Bed Environment," *Theses and Dissertations University of South Carolina Scholar Commons*, p. 18, 2013.
- [9] i. PT. Saka, 2007.
- [10] " "Fisher control valve handbook" fourth edition 1977," dalam *Instrument Society of America Standard S561.1.,* 1976.
- [11] instrumentationtoolbox.com, "Learning Instrumentation and Control Engineering," 10 Juni 2020. [Online]. Available: <https://www.instrumentationtoolbox.com/2014/03/control-valve-actuators-basic-types-and.html>.

- [12] S. BasuAjay dan K. Debnath, “General Instruments,” dalam *Power Plant Instrumentation and Control Handbook*, Academic press, 2015, pp. 229-296.
- [13] W. Milligan, D. Muir dan D. Harrison, “Oil level measurement in oil-injected screw compressor packages used in the petroleum, petrochemical, refrigeration and fuel gas market,” dalam *8th International Conference on Compressors and their Systems*, London, 2013.
- [14] “Thermometrics Corporation,” 2012. [Online]. Available: www.thermometricscorp.com.
- [15] MathWorks, “The MathWorks, Inc.,” 2020. [Online]. Available: <https://www.mathworks.com/help/stateflow/ug/programming-a-truth-table.html>.
- [16] P. Garrison, “2020 Air & Space Magazine,” September 2006. [Online]. Available: <https://www.airspacemag.com/flight-today/flameout-9043856/>.
- [17] www.mathworks.com, “The MathWorks, Inc.,” 1994-2020 . [Online]. Available: <https://www.mathworks.com/help/simulink/ug/what-is-a-matlab-function-block.html>. [Diakses 19 July 2020].

LAMPIRAN A

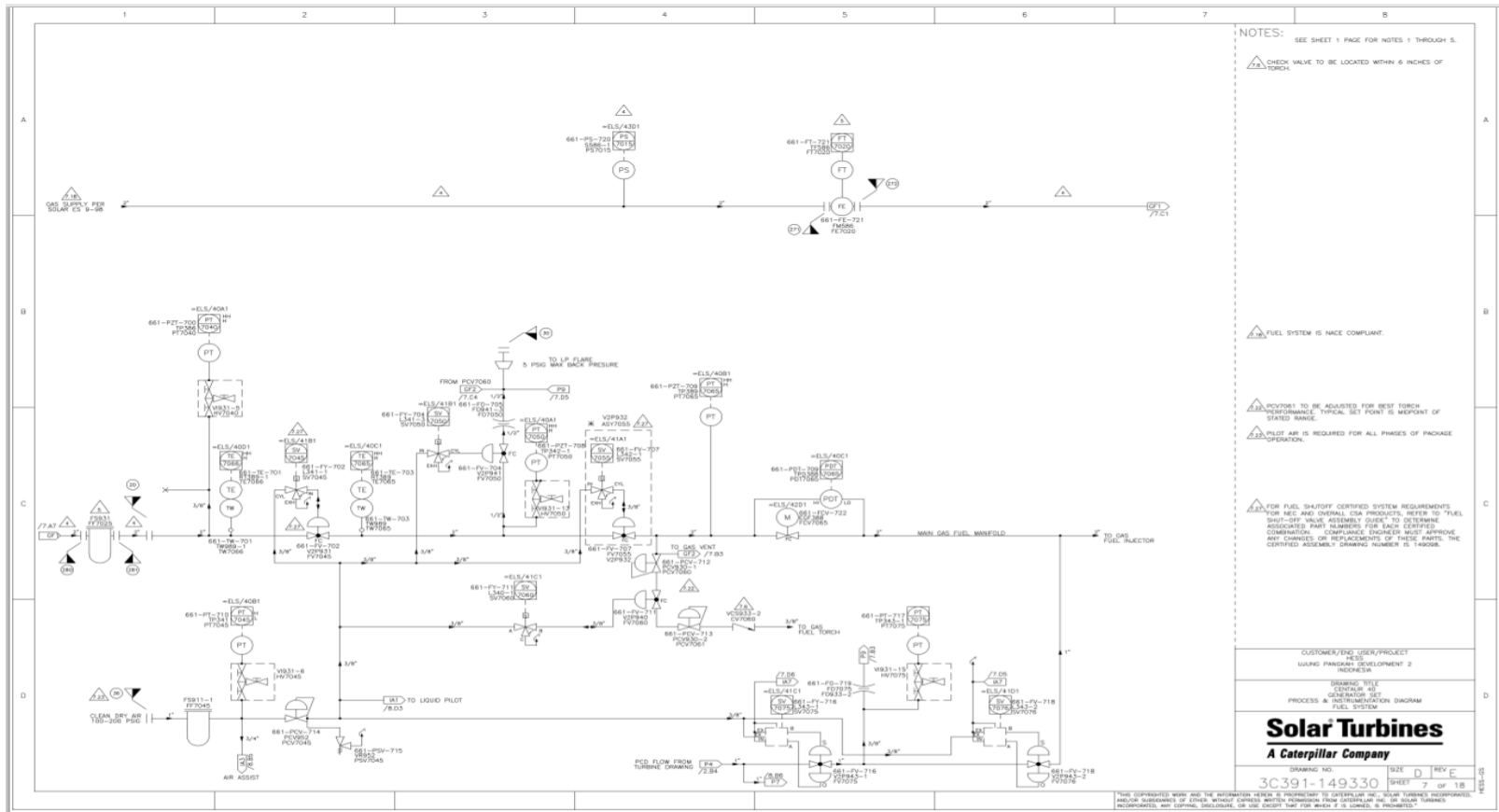
P&ID Gas Turbine Generator *Cemtaur 40*



Halaman ini sengaja dikosongkan

LAMPIRAN B

P&ID Sistem Bahan Bakar Gas Turbine Generator Cemtaur 40



Halaman ini sengaja dikosongkan

LAMPIRAN C

Data Operasi Gas Turbine Generator Centaur 40 (3 Januari – 4 februari 2020)

T2 (K)	h2	T3 (K)	h3	Mfuel (kg/s)	Mudara (kg/s)	AFR
602,1469	609,2764	1101,952	1724,841	0,098375	1,355140512	13,77525
603,7463	610,9573	1103,551	1726,522	0,10273333	1,439006855	14,0072
602,2428	609,3772	1102,048	1724,942	0,10321944	1,457038474	14,11593
602,3034	609,4409	1102,108	1725,005	0,10418889	1,552849066	14,90417
603,4949	610,6931	1103,3	1726,258	0,10273333	1,453624835	14,1495
603,5665	610,7684	1103,371	1726,333	0,10564167	1,527512503	14,45938
602,8044	609,9674	1102,609	1725,532	0,10564167	1,57002694	14,86182
603,2752	610,4623	1103,08	1726,027	0,10661111	1,542164339	14,46532
605,1309	612,4126	1104,936	1727,977	0,10709444	1,583654916	14,78746
604,8484	612,1157	1104,653	1727,68	0,106125	1,512027009	14,2476
604,7726	612,036	1104,578	1727,601	0,10273333	1,481774498	14,4235
603,2745	610,4615	1103,079	1726,026	0,10273333	1,440113301	14,01798
602,3431	609,4826	1102,148	1725,047	0,10321944	1,541687382	14,93602
602,0526	609,1773	1101,858	1724,742	0,10273333	1,427776134	13,89789
602,684	609,8409	1102,489	1725,405	0,10467222	1,487938998	14,21522
601,9019	609,0189	1101,707	1724,583	0,10418889	1,492733019	14,32718
603,025	610,1993	1102,83	1725,764	0,10709444	1,515077725	14,14712
600,1169	607,1428	1099,922	1722,707	0,10370278	1,449304852	13,97556
600,6201	607,6718	1100,425	1723,236	0,10225	1,424853654	13,935
600,3375	607,3747	1100,142	1722,939	0,10321944	1,441978706	13,97003
600,3659	607,4045	1100,171	1722,969	0,10467222	1,476586702	14,10677
602,1225	609,2507	1101,927	1724,815	0,10273333	1,432917235	13,94793
602,0222	609,1453	1101,827	1724,71	0,10321944	1,529393936	14,81692
602,8445	610,0096	1102,649	1725,574	0,10418889	1,425887355	13,6856
602,7137	609,872	1102,519	1725,437	0,10273333	1,414371952	13,76741
603,5517	610,7529	1103,357	1726,317	0,10370278	1,447659145	13,95969
		499,8049	1115,565	0,10273333		
603,626	610,831	1103,431	1726,395	0,10661111	1,52003828	14,25778
602,8138	609,9773	1102,619	1725,542	0,10564167	1,556545904	14,7342
604,0557	611,2826	1103,861	1726,847	0,10467222	1,501610875	14,34584
603,1468	610,3273	1102,952	1725,892	0,10079722	1,477325691	14,65641
603,2456	610,4311	1103,051	1725,996	0,10709444	1,565181818	14,61497
603,8465	611,0626	1103,651	1726,627	0,106125	1,513592357	14,26235
601,7669	608,877	1101,572	1724,442	0,10709444	1,529565808	14,2824
602,2087	609,3413	1102,014	1724,906	0,10709444	1,527178347	14,26011

602,9047	610,0728	1102,71	1725,637	0,10515556	1,488530861	14,15551
602,684	609,8409	1102,489	1725,405	0,106125	1,566577977	14,76163
603,1543	610,3352	1102,959	1725,9	0,10467222	1,48477907	14,18503
602,5239	609,6726	1102,329	1725,237	0,10467222	1,503359298	14,36254
603,025	610,1993	1102,83	1725,764	0,106125	1,564013948	14,73747
601,5609	608,6605	1101,366	1724,225	0,10515556	1,492618536	14,19439
602,1832	609,3145	1101,988	1724,879	0,10467222	1,468560658	14,03009
601,0511	608,1247	1100,856	1723,689	0,10225	1,470523029	14,38164
601,3015	608,3878	1101,106	1723,952	0,10273333	1,499319657	14,59429
601,4606	608,5551	1101,266	1724,12	0,10467222	1,471470667	14,05789
603,4056	610,5993	1103,21	1726,164	0,10370278	1,49400018	14,40656
603,8465	611,0626	1103,651	1726,627	0,10370278	1,544430112	14,89285
604,1843	611,4177	1103,989	1726,982	0,10321944	1,463444545	14,17799
604,2761	611,5142	1104,081	1727,079	0,10273333	1,431959748	13,93861
603,6518	610,8581	1103,457	1726,423	0,10321944	1,457224903	14,11774
603,6518	610,8581	1103,457	1726,423	0,10370278	1,513001079	14,58978
603,2115	610,3953	1103,016	1725,96	0,10321944	1,504028343	14,57117
602,1469	609,2764	1101,952	1724,841	0,10128056	1,471061051	14,52461
600,7105	607,7668	1100,515	1723,331	0,10321944	1,492976918	14,46411
598,1925	605,1221	1097,997	1720,687	0,10176667	1,510660648	14,84436
597,5357	604,4325	1097,341	1719,997	0,10370278	1,51525015	14,61147
598,1925	605,1221	1097,997	1720,687	0,10321944	1,42455629	13,80124
598,2527	605,1853	1098,058	1720,75	0,10418889	1,48133203	14,21775
601,0841	608,1594	1100,889	1723,724	0,10418889	1,524221374	14,6294
601,7946	608,9061	1101,6	1724,471	0,106125	1,602512298	15,10023
602,1516	609,2813	1101,957	1724,846	0,10564167	1,521245003	14,40005
602,55	609,7001	1102,355	1725,265	0,106125	1,535275745	14,46667
603,025	610,1993	1102,83	1725,764	0,10564167	1,512767669	14,3198
600,4871	607,532	1100,292	1723,097	0,09885833	1,349128092	13,64709
600,8107	607,8721	1100,616	1723,437	0,10128056	1,392110443	13,74509
		499,8049	1115,565	0,10128056		
601,4606	608,5551	1101,266	1724,12	0,10273333	1,443704104	14,05293
601,5609	608,6605	1101,366	1724,225	0,10321944	1,466453935	14,20715
602,8137	609,9772	1102,619	1725,542	0,10467222	1,457315153	13,92265
602,303	609,4404	1102,108	1725,005	0,10394444	1,474794293	14,18829
604,3074	611,5471	1104,112	1727,112	0,10418889	1,500807635	14,40468
605,0466	612,324	1104,851	1727,888	0,10225	1,437940559	14,06299
604,5565	611,8089	1104,361	1727,373	0,10249167	1,430186683	13,95418
603,0341	610,2089	1102,839	1725,773	0,10176667	1,497492999	14,71497
602,4036	609,5462	1102,209	1725,111	0,10273333	1,434375362	13,96212

601,3403	608,4286	1101,145	1723,993	0,10467222	1,44373933	13,79296
601,4918	608,5878	1101,297	1724,152	0,10418889	1,502695993	14,4228
601,9906	609,1122	1101,796	1724,677	0,10273333	1,491010217	14,5134
602,7137	609,872	1102,519	1725,437	0,10370278	1,432263957	13,81124
602,593	609,7453	1102,398	1725,31	0,106125	1,590184418	14,98407
596,9983	603,8682	1096,803	1719,433	0,10709444	1,509751372	14,09738
596,0423	602,8644	1095,847	1718,429	0,10564167	1,435618015	13,58951
		499,8049	1115,565	0,10564167		
598,3192	605,2551	1098,124	1720,82	0,10370278	1,495509903	14,42112
597,5357	604,4325	1097,341	1719,997	0,10467222	1,520900578	14,53013
598,1744	605,1031	1097,979	1720,668	0,10806389	1,544812704	14,29536
598,5917	605,5413	1098,397	1721,106	0,10661111	1,483220157	13,91244
600,0801	607,1042	1099,885	1722,669	0,106125	1,512569496	14,25272
598,7547	605,7125	1098,56	1721,277	0,10370278	1,491553592	14,38297
597,0679	603,9413	1096,873	1719,506	0,10273333	1,429520944	13,91487
597,9716	604,8902	1097,776	1720,455	0,10273333	1,45290743	14,14251
597,7507	604,6582	1097,556	1720,223	0,10176667	1,496434812	14,70457
600,7901	607,8504	1100,595	1723,415	0,10661111		
598,5008	605,4459	1098,306	1721,01	0,08965278	1,123427386	12,53087
603,7463	610,9573	1103,551	1726,522	0,10321944	1,484735896	14,38427
604,3762	611,6194	1104,181	1727,184	0,10225		
602,7737	609,9352	1102,579	1725,5	0,10297778	1,484410898	14,41487
602,6241	609,7779	1102,429	1725,342	0,10225	1,466147276	14,33885
601,4918	608,5878	1101,297	1724,152	0,10321944	1,429749095	13,85155
602,4634	609,6091	1102,268	1725,174	0,106125	1,612901299	15,19813
602,4033	609,5458	1102,208	1725,11	0,10782222	1,543963031	14,31953
602,4634	609,6091	1102,268	1725,174	0,10757778	1,518283549	14,11336
602,7443	609,9043	1102,549	1725,469	0,106125	1,517504964	14,29922
602,4036	609,5462	1102,209	1725,111	0,10370278	1,557393499	15,01786
598,9213	605,8873	1098,726	1721,452	0,10515556	1,561795253	14,85224
597,8076	604,7179	1097,612	1720,282	0,10854722	1,5338012	14,13027
601,1197	608,1968	1100,925	1723,761	0,10418889	1,493922764	14,3386
		499,8049	1115,565	0,10467222		
601,3403	608,4286	1101,145	1723,993	0,10515556	1,498539866	14,2507
600,4863	607,5311	1100,291	1723,096	0,10515556	1,542741096	14,67104
599,076	606,0498	1098,881	1721,614	0,10515556	1,492076651	14,18923
599,5553	606,5531	1099,36	1722,118	0,10467222	1,441997884	13,77632
600,0166	607,0374	1099,821	1722,602	0,10370278	1,44063419	13,89195
599,5553	606,5531	1099,36	1722,118	0,10321944	1,434386733	13,89648
599,3627	606,3508	1099,168	1721,915	0,10515556	1,450012814	13,78922

598,9213	605,8873	1098,726	1721,452	0,10370278	1,526842562	14,72326
601,3403	608,4286	1101,145	1723,993	0,106125	1,512211233	14,24934
602,1516	609,2813	1101,957	1724,846	0,106125		
603,4949	610,6931	1103,3	1726,258	0,10321944	1,52163499	14,74175
598,9756	605,9444	1098,781	1721,509	0,10515556	1,477138713	14,04718
601,1116	608,1883	1100,916	1723,753	0,10757778	1,533863521	14,25818
602,7709	609,9322	1102,576	1725,497	0,10854722	1,534866057	14,14008
602,3723	609,5133	1102,177	1725,078	0,10806389	1,540674941	14,25707
602,593	609,7453	1102,398	1725,31	0,10709444	1,567227899	14,63407
601,5219	608,6195	1101,327	1724,184	0,10418889	1,4999404	14,39636
601,0194	608,0914	1100,824	1723,656	0,10467222	1,464469223	13,991
598,4798	605,4238	1098,285	1720,988	0,10418889	1,470162864	14,11055
600,4578	607,5012	1100,263	1723,066	0,10467222	1,459623895	13,94471
603,7463	610,9573	1103,551	1726,522	0,10661111	1,505229757	14,11888
600,5581	607,6066	1100,363	1723,171	0,10515556	1,522570056	14,47922
600,1169	607,1428	1099,922	1722,707	0,10564167	1,547908596	14,65244
599,8041	606,8143	1099,609	1722,379	0,10564167	1,533432219	14,51541
599,5379	606,5348	1099,343	1722,099	0,10515556	1,555235937	14,78986
598,6404	605,5924	1098,445	1721,157	0,10418889	1,458840624	14,00188
598,2591	605,1921	1098,064	1720,757	0,10515556	1,46514928	13,93316
598,2929	605,2275	1098,098	1720,792	0,10467222	1,450631848	13,8588
598,7932	605,7528	1098,598	1721,317	0,10418889	1,435601143	13,77883
600,5782	607,6276	1100,383	1723,192	0,10418889	1,450126761	13,91825
603,8465	611,0626	1103,651	1726,627	0,10564167	1,483633094	14,04401
598,9756	605,9444	1098,781	1721,509	0,10418889	1,472050192	14,12867
602,0513	609,1759	1101,856	1724,74	0,10564167	1,479701092	14,00679
602,5239	609,6726	1102,329	1725,237	0,10467222	1,463014197	13,9771
603,1548	610,3357	1102,96	1725,9	0,106125	1,540663917	14,51745
604,1871	611,4207	1103,992	1726,985	0,10564167	1,568938583	14,85151
607,3809	614,7773	1107,186	1730,342	0,10709444	1,637900606	15,29398
605,2776	612,5668	1105,083	1728,131	0,106125	1,587672283	14,9604
604,7482	612,0104	1104,553	1727,575	0,10709444	1,524757695	14,23751
604,6897	611,9488	1104,495	1727,513	0,10757778	1,598926457	14,86298
603,2854	610,4729	1103,09	1726,037	0,10854722	1,615486576	14,8828
601,8425	608,9565	1101,647	1724,521	0,10709444	1,52784719	14,26635
602,8044	609,9674	1102,609	1725,532	0,10709444	1,506932647	14,07106
604,2484	611,4851	1104,053	1727,05	0,10709444	1,542615173	14,40425
602,2087	609,3413	1102,014	1724,906	0,10806389	1,5922684	14,73451
600,9837	608,0539	1100,789	1723,618	0,10709444	1,494530937	13,95526
600,5018	607,5473	1100,307	1723,112	0,10806389	1,598171285	14,78913

600,1452	607,1726	1099,95	1722,737	0,10515556	1,565100419	14,88367
599,8041	606,8143	1099,609	1722,379	0,106125	1,470096697	13,8525
599,0416	606,0137	1098,847	1721,578	0,10418889	1,504498699	14,44011
599,142	606,1191	1098,947	1721,684	0,10418889	1,551865027	14,89473
598,7005	605,6556	1098,505	1721,22	0,10467222	1,558931229	14,89346
600,8991	607,9649	1100,704	1723,529	0,10467222	1,523909331	14,55887
599,796	606,8058	1099,601	1722,37	0,10467222	1,452069034	13,87253
599,3236	606,3098	1099,129	1721,874	0,10709444	1,579030179	14,74428
599,2232	606,2043	1099,028	1721,769	0,10661111	1,510140137	14,16494
599,2969	606,2818	1099,102	1721,846	0,10515556	1,520399124	14,45857
599,8592	606,8721	1099,664	1722,437	0,10564167	1,482321171	14,0316
602,684	609,8409	1102,489	1725,405	0,10467222	1,542525592	14,73672
604,2484	611,4851	1104,053	1727,05	0,10467222	1,565111866	14,9525
601,7102	608,8174	1101,515	1724,382	0,10467222	1,534164873	14,65685
601,5219	608,6195	1101,327	1724,184	0,10418889	1,506692854	14,46117
601,5609	608,6605	1101,366	1724,225	0,106125	1,587500023	14,95878
602,0513	609,1759	1101,856	1724,74	0,10757778	1,556846398	14,47182
601,5919	608,6931	1101,397	1724,258	0,10467222	1,469339826	14,03753
598,6342	605,586	1098,439	1721,15	0,10370278	1,500965944	14,47373
600,6201	607,6718	1100,425	1723,236	0,10467222	1,531350032	14,62996
602,8044	609,9674	1102,609	1725,532	0,10757778	1,506285247	14,00183
603,4662	610,663	1103,271	1726,228	0,10661111	1,492757842	14,0019
603,1253	610,3047	1102,93	1725,869	0,10661111	1,553456948	14,57125
600,0449	607,0671	1099,85	1722,632	0,10564167	1,473697926	13,94997
598,7666	605,725	1098,572	1721,289	0,10757778	1,543859885	14,3511
598,3705	605,3091	1098,175	1720,874	0,10661111	1,570356248	14,72976
599,076	606,0498	1098,881	1721,614	0,10418889	1,487596833	14,27788
		499,8049	1115,565	0,10370278		
600,1071	607,1326	1099,912	1722,697	0,10661111	1,620360175	15,19879
600,2656	607,2991	1100,07	1722,864	0,10467222	1,50222774	14,35173
600,4578	607,5012	1100,263	1723,066	0,10418889	1,555350207	14,92818
599,8861	606,9004	1099,691	1722,465	0,10661111	1,533175992	14,38102
598,9213	605,8873	1098,726	1721,452	0,10370278	1,537217639	14,8233
599,8592	606,8721	1099,664	1722,437	0,10418889	1,462333616	14,03541
600,7628	607,8217	1100,568	1723,386	0,10564167	1,490780857	14,11167
602,0513	609,1759	1101,856	1724,74	0,10515556	1,461212981	13,89573
604,0377	611,2636	1103,843	1726,828	0,10661111	1,50146159	14,08354
604,8202	612,086	1104,625	1727,651	0,10757778	1,588864181	14,76945
603,8465	611,0626	1103,651	1726,627	0,10564167	1,48334144	14,04125
603,1555	610,3364	1102,96	1725,901	0,10515556	1,511437816	14,37335

601,8673	608,9825	1101,672	1724,547	0,10709444	1,566506094	14,62733
601,3015	608,3878	1101,106	1723,952	0,10370278	1,518171285	14,63964
601,09	608,1656	1100,895	1723,73	0,10370278		
602,3723	609,5133	1102,177	1725,078	0,10806389	1,525705103	14,11855
597,0436	603,9158	1096,848	1719,48	0,11193889		
598,2231	605,1543	1098,028	1720,719	0,10854722	1,516711722	13,97283
598,8129	605,7735	1098,618	1721,338	0,10661111	1,490479385	13,98053
600,8495	607,9129	1100,654	1723,477	0,10903333	1,542033453	14,14277
600,8274	607,8896	1100,632	1723,454	0,10467222	1,447632191	13,83015
601,1484	608,227	1100,953	1723,791	0,10661111	1,559455914	14,62752
603,1548	610,3357	1102,96	1725,9	0,10709444	1,500637733	14,01228
600,5496	607,5976	1100,354	1723,162	0,10128056	1,370513437	13,53185
599,6383	606,6402	1099,443	1722,205	0,10661111	1,502416134	14,09249
599,9293	606,9458	1099,734	1722,51	0,10225	1,372402596	13,42203
601,2688	608,3535	1101,074	1723,918	0,106125	1,486653352	14,00851
600,8906	607,956	1100,695	1723,521	0,10951667	1,551373674	14,16564
600,2543	607,2873	1100,059	1722,852	0,10903333	1,533078034	14,06064
599,8438	606,856	1099,649	1722,421	0,10854722	1,596425638	14,7072
600,6423	607,6951	1100,447	1723,26	0,10709444	1,523845809	14,22899
602,3091	609,4468	1102,114	1725,011	0,10854722		
602,1516	609,2813	1101,957	1724,846	0,10564167	1,428967292	13,52655
603,872	611,0894	1103,677	1726,654	0,10418889	1,418048116	13,61036
603,3116	610,5005	1103,116	1726,065	0,10128056	1,458190126	14,39753
602,8713	610,0377	1102,676	1725,602	0,10370278	1,436583029	13,85289
603,3116	610,5005	1103,116	1726,065	0,10370278	1,440322908	13,88895
602,6511	609,8063	1102,456	1725,371	0,10370278	1,507091689	14,5328
602,3669	609,5076	1102,172	1725,072	0,10370278	1,468386897	14,15957
		499,8049	1115,565	0,10757778		
602,9647	610,1359	1102,77	1725,7	0,10661111		
603,2745	610,4615	1103,079	1726,026	0,10564167	1,566950246	14,83269
604,0669	611,2943	1103,872	1726,859	0,10854722		
603,1543	610,3352	1102,959	1725,9	0,10564167	1,490666168	14,11059
603,3747	610,5668	1103,18	1726,131	0,10564167	1,517630164	14,36583
604,5966	611,851	1104,401	1727,416	0,10515556	1,532270465	14,57146
603,8465	611,0626	1103,651	1726,627	0,10806389	1,56783853	14,50844
602,7712	609,9325	1102,576	1725,497	0,10467222	1,461452093	13,96218
602,7069	609,8649	1102,512	1725,429	0,10418889	1,486435465	14,26674
		499,8049	1115,565	0,10467222		
		499,8049	1115,565	0,10467222		
600,8406	607,9034	1100,645	1723,468	0,10467222	1,53898992	14,70294

602,593	609,7453	1102,398	1725,31	0,10757778	1,524213228	14,16848
603,2127	610,3966	1103,018	1725,961	0,11000278	1,5580962	14,16415
602,272	609,4079	1102,077	1724,972	0,10757778	1,512863482	14,06297
602,8445	610,0096	1102,649	1725,574	0,10564167	1,502061618	14,21846
603,9921	611,2157	1103,797	1726,78	0,10515556	1,54347294	14,678
604,7168	611,9773	1104,522	1727,542	0,10661111	1,492615575	14,00056
602,8138	609,9773	1102,619	1725,542	0,10321944	1,475978908	14,29943
602,7137	609,872	1102,519	1725,437	0,10370278	1,551159608	14,95774
602,027	609,1503	1101,832	1724,715	0,10321944	1,38284917	13,39718
603,2745	610,4615	1103,079	1726,026	0,10757778	1,526520208	14,18992
602,6511	609,8063	1102,456	1725,371	0,10515556	1,518432483	14,43987
		499,8049	1115,565	0,10418889		
602,5935	609,7457	1102,398	1725,31	0,10709444	1,499421002	14,00092
		499,8049	1115,565	0,10515556		
602,4933	609,6405	1102,298	1725,205	0,106125	1,475025772	13,89895
602,7443	609,9043	1102,549	1725,469	0,10661111	1,561457678	14,64629
602,8445	610,0096	1102,649	1725,574	0,10757778	1,562989292	14,52892
603,2456	610,4311	1103,051	1725,996	0,10854722	1,519818595	14,00145
602,7443	609,9043	1102,549	1725,469	0,106125	1,545639561	14,56433
602,273	609,4089	1102,078	1724,973	0,10467222	1,460785921	13,95581
603,0341	610,2089	1102,839	1725,773	0,10564167		
602,6511	609,8063	1102,456	1725,371	0,10418889	1,44619081	13,88047
601,7102	608,8174	1101,515	1724,382	0,10806389	1,533578011	14,1914
600,0801	607,1042	1099,885	1722,669	0,10854722	1,513620603	13,94435
600,2656	607,2991	1100,07	1722,864	0,10467222	1,488676357	14,22227
		499,8049	1115,565	0,10370278		
599,6182	606,6191	1099,423	1722,184	0,10225	1,390849374	13,60244
596,4562	603,299	1096,261	1718,864	0,08529167	1,121468372	13,14863
598,227	605,1583	1098,032	1720,723	0,0882	1,086266265	12,31594
597,561	604,4591	1097,366	1720,024	0,08577778	0,94445346	11,01047
600,246	607,2786	1100,051	1722,843	0,08626111	0,994158922	11,525
599,6595	606,6625	1099,464	1722,227	0,08916944	1,128138362	12,65162
597,387	604,2764	1097,192	1719,841	0,08626111	1,114675292	12,92211
596,9503	603,8178	1096,755	1719,382	0,08674722	0,988672643	11,39717
598,479	605,423	1098,284	1720,987	0,08577778		
598,9917	605,9613	1098,797	1721,526	0,08868333	1,045913701	11,7938
598,5546	605,5023	1098,359	1721,067	0,08626111	1,013658905	11,75105
598,2168	605,1476	1098,022	1720,712	0,08529167	1,058461218	12,4099
598,4552	605,398	1098,26	1720,962	0,08577778	1,009314471	11,76662
599,9609	606,979	1099,766	1722,543	0,08916944	1,098903771	12,32377

598,9917	605,9613	1098,797	1721,526	0,08626111	1,044612154	12,10989
597,7796	604,6886	1097,584	1720,253	0,08529167	1,084811036	12,71884
597,3316	604,2182	1097,137	1719,783	0,08723056	1,105500504	12,67332
596,4209	603,2619	1096,226	1718,826	0,08529167	0,992547927	11,6371
597,0046	603,8749	1096,81	1719,439	0,084325	0,983642196	11,66489
597,0133	603,884	1096,818	1719,448	0,08868333	1,095804146	12,35637
597,5744	604,4731	1097,379	1720,038	0,08723056	1,060563754	12,15817
596,4209	603,2619	1096,226	1718,826	0,08577778	0,936254121	10,91488
595,291	602,0755	1095,096	1717,64	0,0882	1,119406317	12,69168
595,2979	602,0828	1095,103	1717,647	0,0882	1,142639427	12,9551
597,0653	603,9385	1096,87	1719,503	0,09013889	1,148621807	12,7428
598,736	605,6928	1098,541	1721,257	0,08965278	1,168367207	13,03214
599,71	606,7155	1099,515	1722,28	0,08626111	0,972072547	11,26895
599,8859	606,9002	1099,691	1722,465	0,084325	1,064328657	12,62175
598,9917	605,9613	1098,797	1721,526	0,08529167	1,094148846	12,82832
599,1541	606,1318	1098,959	1721,696	0,08577778	0,986032068	11,49519
598,7173	605,6731	1098,522	1721,238	0,08529167	0,963423413	11,29563
599,5035	606,4987	1099,308	1722,063	0,08771389	1,141208251	13,01058
598,2223	605,1534	1098,027	1720,718	0,08529167	1,086253411	12,73575
597,7047	604,6099	1097,51	1720,174	0,08626111		
598,0422	604,9643	1097,847	1720,529	0,08723056	1,093667107	12,53766
598,2903	605,2248	1098,095	1720,789	0,08674722	1,098442909	12,66257
597,4153	604,306	1097,22	1719,871	0,08529167	1,059517661	12,42229
597,5359	604,4327	1097,341	1719,997	0,08916944	1,091700844	12,24299
596,221	603,0521	1096,026	1718,617	0,08965278	1,193971257	13,31773
594,7849	601,5441	1094,59	1717,109	0,08577778	0,979737566	11,42181
594,6339	601,3855	1094,439	1716,95	0,08626111	1,066331335	12,36167
594,0288	600,7503	1093,834	1716,315	0,08529167	1,071277124	12,56016
594,3127	601,0484	1094,118	1716,613	0,08577778	0,934257257	10,8916
593,7758	600,4845	1093,581	1716,049	0,084325	1,02259561	12,12684
593,7901	600,4996	1093,595	1716,064	0,08480833	0,970328989	11,44143
595,0058	601,7761	1094,811	1717,341	0,0882	1,050549723	11,91099
594,4666	601,2099	1094,271	1716,774	0,08577778	0,98732918	11,51031
595,291	602,0755	1095,096	1717,64	0,08626111	0,978801161	11,34696
595,7996	602,6096	1095,605	1718,174	0,08577778	0,943981413	11,00496
598,2903	605,2248	1098,095	1720,789	0,08529167	0,96284916	11,2889
599,8092	606,8197	1099,614	1722,384	0,08529167	0,994988219	11,66571
602,3105	609,4483	1102,115	1725,013	0,08480833	0,952823901	11,23503
602,9065	610,0747	1102,711	1725,639	0,08771389	1,127215177	12,85105
601,1384	608,2165	1100,943	1723,781	0,08529167	0,941268818	11,03588

600,3651	607,4038	1100,17	1722,968	0,08626111	0,954304407	11,06297
600,6615	607,7152	1100,466	1723,28	0,08529167	1,06480514	12,48428
599,691	606,6955	1099,496	1722,26	0,08480833	0,977476693	11,52572
598,9963	605,9661	1098,801	1721,531	0,08674722	1,062762985	12,25126
598,7173	605,6731	1098,522	1721,238	0,08916944	1,137629914	12,75807
599,9236	606,9398	1099,729	1722,504	0,088925	1,096855827	12,33462
598,5981	605,548	1098,403	1721,113	0,08577778	1,017383343	11,86069
598,3797	605,3187	1098,185	1720,883	0,08626111	0,953646974	11,05535
598,336	605,2728	1098,141	1720,837	0,08674722	1,047922105	12,08018
597,1128	603,9884	1096,918	1719,553	0,0882	1,009089768	11,44093
594,7155	601,4713	1094,52	1717,036	0,07899444	0,789527375	9,99472
596,4681	603,3115	1096,273	1718,876	0,08577778	1,010796749	11,7839
595,6931	602,4978	1095,498	1718,062	0,084325	0,951289859	11,28123
595,864	602,6772	1095,669	1718,242	0,08529167	1,001960469	11,74746
595,2077	601,9881	1095,013	1717,553	0,08577778	0,987919815	11,5172
595,0058	601,7761	1094,811	1717,341	0,08965278	1,007324843	11,23585
594,1958	600,9255	1094,001	1716,49	0,08674722	1,039030773	11,97768
594,4666	601,2099	1094,271	1716,774	0,08529167	1,013570435	11,88358
596,3368	603,1737	1096,142	1718,738	0,08577778	1,090797623	12,71655
599,4407	606,4327	1099,246	1721,997	0,0882	1,053282863	11,94198
602,8248	609,9889	1102,63	1725,553	0,09013889	1,096682275	12,16658
601,8739	608,9894	1101,679	1724,554	0,08529167	1,003842445	11,76953
601,7928	608,9042	1101,598	1724,469	0,08480833	1,021831742	12,04872
601,7548	608,8643	1101,56	1724,429	0,08674722	1,098035022	12,65787
600,6633	607,7171	1100,468	1723,282	0,08723056	0,990271843	11,35235
600,2068	607,2374	1100,012	1722,802	0,08674722	0,978653706	11,28167
600,0276	607,049	1099,833	1722,614	0,0882	1,095930959	12,42552
		499,8049	1115,565	0,08529167		
598,9357	605,9024	1098,741	1721,467	0,08626111	1,117175138	12,95109
598,7173	605,6731	1098,522	1721,238	0,08674722	1,056490739	12,17896
598,7173	605,6731	1098,522	1721,238	0,08674722	0,991379502	11,42837
599,6228	606,624	1099,428	1722,188	0,08868333	1,153362317	13,0054
599,9978	607,0177	1099,803	1722,582	0,08916944	1,165259818	13,06793
597,3424	604,2296	1097,147	1719,794	0,08577778	1,012482141	11,80355
595,6802	602,4843	1095,485	1718,049	0,08674722	0,992073277	11,43637
591,622	598,2231	1091,427	1713,788	0,0882	0,937659588	10,63106
592,762	599,4201	1092,567	1714,985	0,08626111	0,955570038	11,07765
595,9681	602,7865	1095,773	1718,351	0,08771389	1,04053343	11,86281
596,0532	602,8759	1095,858	1718,44	0,08723056	1,084636529	12,43414
596,0185	602,8394	1095,823	1718,404	0,08626111	0,944834582	10,95319

595,7996	602,6096	1095,605	1718,174	0,08529167	0,95657013	11,21528
594,7849	601,5441	1094,59	1717,109	0,08626111	1,053255322	12,21008
595,7828	602,5919	1095,588	1718,156	0,08868333	1,050110315	11,84112
		499,8049	1115,565	0,08577778		
599,9284	606,9448	1099,733	1722,509	0,08674722	0,977995928	11,27409
602,3102	609,448	1102,115	1725,013	0,0882	1,042288802	11,81733
601,0195	608,0915	1100,824	1723,656	0,08529167	1,053498125	12,35171
		499,8049	1115,565	0,08577778		
600,5442	607,592	1100,349	1723,156	0,08577778	0,966455881	11,26697
600,147	607,1745	1099,952	1722,739	0,08577778	0,952842924	11,10827
599,71	606,7155	1099,515	1722,28	0,08771389	1,003687713	11,44275
599,4717	606,4653	1099,277	1722,03	0,08771389	1,148662967	13,09557
598,5597	605,5077	1098,365	1721,072	0,08480833	0,981207	11,5697
599,3295	606,316	1099,134	1721,881	0,08723056	1,153908002	13,22825
598,3414	605,2784	1098,146	1720,843	0,084325	0,938063477	11,12438
598,9917	605,9613	1098,797	1721,526	0,08674722	1,129452074	13,02004
600,0503	607,0729	1099,855	1722,637	0,09110556	1,114243233	12,23024
599,066	606,0393	1098,871	1721,604	0,08723056	1,04520334	11,98208
598,7732	605,7318	1098,578	1721,296	0,08626111	1,048028802	12,14949
597,8238	604,735	1097,629	1720,3	0,08480833	1,05938774	12,49155
598,7173	605,6731	1098,522	1721,238	0,08577778	0,967391172	11,27788
596,3368	603,1737	1096,142	1718,738	0,08723056	0,994261784	11,39809
595,256	602,0388	1095,061	1717,603	0,08480833	0,964314452	11,37052
595,7646	602,5728	1095,569	1718,137	0,08529167	0,990259076	11,61027
595,6802	602,4843	1095,485	1718,049	0,08529167	1,009776581	11,8391
596,6593	603,5123	1096,464	1719,077	0,08771389	1,073785456	12,24191
598,2132	605,1439	1098,018	1720,708	0,09013889	1,117846561	12,40138
600,1797	607,2088	1099,985	1722,773	0,08674722	1,025641727	11,82334
602,6478	609,8029	1102,453	1725,367	0,08626111	0,974567867	11,29788
602,7873	609,9495	1102,592	1725,514	0,08771389	1,077143947	12,2802
603,0795	610,2566	1102,884	1725,821	0,08383889	1,01693978	12,12969
601,8705	608,9859	1101,675	1724,55	0,08480833	1,105354611	13,03356
601,1966	608,2777	1101,002	1723,842	0,08529167	0,933982814	10,95046
603,0844	610,2617	1102,889	1725,826	0,08916944	1,193173888	13,38097
601,5689	608,6689	1101,374	1724,233	0,08626111	1,096368794	12,70988
599,7696	606,7781	1099,575	1722,343	0,08480833	0,987439128	11,64319
599,671	606,6746	1099,476	1722,239	0,08577778	1,038474706	12,10657
600,3985	607,4388	1100,203	1723,003	0,09062222	1,150889619	12,69986
604,7168	611,9773	1104,522	1727,542	0,10757778	1,557012243	14,47336
604,3762	611,6194	1104,181	1727,184	0,10515556		

604,4076	611,6524	1104,212	1727,217	0,10709444	1,55731653	14,54152
601,4531	608,5472	1101,258	1724,112	0,10951667	1,545499151	14,112
600,9608	608,0298	1100,766	1723,594	0,10467222	1,495243547	14,28501
601,6221	608,7248	1101,427	1724,289	0,10515556	1,449867576	13,78784
602,0907	609,2173	1101,896	1724,782	0,10418889	1,442905862	13,84894
604,0278	611,2532	1103,833	1726,818	0,10806389	1,616425964	14,95806
602,0526	609,1773	1101,858	1724,742	0,10467222	1,531119977	14,62776
600,7105	607,7668	1100,515	1723,331	0,10467222	1,432264788	13,68333
600,6201	607,6718	1100,425	1723,236	0,10467222	1,557620856	14,88094
601,9878	609,1091	1101,793	1724,674	0,10854722	1,525025415	14,04942
602,0222	609,1453	1101,827	1724,71	0,10515556	1,462675509	13,90964
602,7443	609,9043	1102,549	1725,469	0,10467222	1,503988941	14,36856
606,6059	613,9628	1106,411	1729,527	0,10951667	1,587521785	14,49571
605,5532	612,8564	1105,358	1728,421	0,10467222	1,460620032	13,95423
606,0465	613,3748	1105,851	1728,939	0,10515556	1,462461305	13,9076
605,5865	612,8914	1105,391	1728,456	0,10564167	1,547590322	14,64943
605,0689	612,3474	1104,874	1727,912	0,10806389	1,526108402	14,12228
605,2776	612,5668	1105,083	1728,131	0,11000278	1,548268066	14,07481
		499,8049	1115,565	0,10564167		
603,3668	610,5585	1103,172	1726,123	0,10467222	1,484614086	14,18346
603,4662	610,663	1103,271	1726,228	0,10951667	1,55518942	14,20048
599,7857	606,795	1099,591	1722,359	0,10757778	1,596866656	14,84383
603,1253	610,3047	1102,93	1725,869	0,10757778	1,494862527	13,89564
601,8945	609,0111	1101,699	1724,576	0,09740556	1,40783648	14,45335
604,9999	612,2749	1104,805	1727,839	0,11096944		
603,2745	610,4615	1103,079	1726,026	0,10709444	1,532291036	14,30785
601,0481	608,1215	1100,853	1723,686	0,10564167	1,522313805	14,41016
596,9474	603,8148	1096,752	1719,379	0,10806389	1,502584501	13,90459
599,034	606,0057	1098,839	1721,57	0,11048611	1,523699538	13,79087
598,9213	605,8873	1098,726	1721,452	0,106125	1,491214794	14,05149
599,142	606,1191	1098,947	1721,684	0,10564167	1,486808635	14,07407
599,5834	606,5825	1099,388	1722,147	0,10709444	1,501075557	14,01637
599,7857	606,795	1099,591	1722,359	0,11000278	1,625267407	14,77479
599,4831	606,4772	1099,288	1722,042	0,10564167	1,554762773	14,71733
599,5446	606,5418	1099,35	1722,106	0,10661111	1,470674213	13,79476
601,7547	608,8642	1101,56	1724,429	0,11193889	1,65440449	14,77953
		499,8049	1115,565	0,10709444		
603,7463	610,9573	1103,551	1726,522	0,10564167	1,465824106	13,87544
603,5258	610,7257	1103,331	1726,29	0,106125	1,47568107	13,90512
603,7463	610,9573	1103,551	1726,522	0,106125	1,486229596	14,00452

603,2854	610,4729	1103,09	1726,037	0,10661111	1,50850661	14,14962
603,5665	610,7684	1103,371	1726,333	0,10903333	1,55852991	14,29407
602,5935	609,7457	1102,398	1725,31	0,106125	1,465459208	13,8088
602,7137	609,872	1102,519	1725,437	0,10467222	1,470568373	14,04927
		499,8049	1115,565	0,10370278		
		499,8049	1115,565	0,11048611		
603,7871	611,0003	1103,592	1726,565	0,10661111	1,519205677	14,24998
603,0341	610,2089	1102,839	1725,773	0,10467222		
603,4056	610,5993	1103,21	1726,164	0,10467222	1,496700868	14,29893
604,0377	611,2636	1103,843	1726,828	0,10854722	1,542044873	14,20621
603,7871	611,0003	1103,592	1726,565	0,10661111	1,509289351	14,15696
603,7152	610,9247	1103,52	1726,489	0,10515556	1,471065769	13,98943
600,8107	607,8721	1100,616	1723,437	0,10418889	1,449109636	13,90849
601,4017	608,4932	1101,207	1724,058	0,10467222		
601,3251	608,4127	1101,13	1723,977	0,10854722	1,60748719	14,8091
599,9588	606,9768	1099,764	1722,541	0,10515556	1,537425351	14,62049
600,4261	607,4678	1100,231	1723,032	0,10709444	1,484925719	13,86557
600,6784	607,733	1100,483	1723,298	0,10564167	1,507888542	14,27362
601,7423	608,8512	1101,547	1724,416	0,10370278	1,458952147	14,06859
605,0609	612,3391	1104,866	1727,904	0,10854722	1,586049063	14,6116
605,7733	613,0878	1105,578	1728,652	0,10467222	1,452291536	13,87466
608,8187	616,2885	1108,624	1731,853	0,10564167	1,527634806	14,46053
608,9385	616,4144	1108,743	1731,979	0,10515556	1,470250306	13,98167
609,4861	616,9898	1109,291	1732,554	0,10806389	1,561575445	14,45048
608,0398	615,4698	1107,845	1731,034	0,10467222	1,557786119	14,88252
		499,8049	1115,565	0,10661111		
606,5661	613,9209	1106,371	1729,485	0,10418889	1,540917371	14,78965
606,8741	614,2447	1106,679	1729,809	0,10903333	1,649144037	15,12514
604,8066	612,0718	1104,612	1727,636	0,10564167	1,458571741	13,80678
604,4598	611,7072	1104,265	1727,272	0,1054	1,502470791	14,25494
604,7126	611,9729	1104,517	1727,537	0,106125	1,560809852	14,70728
605,4095	612,7054	1105,214	1728,27	0,11000278	1,557842051	14,16184
603,7068	610,9158	1103,512	1726,48	0,10370278	1,440092382	13,88673
603,9921	611,2157	1103,797	1726,78	0,10467222	1,547846547	14,78756
603,872	611,0894	1103,677	1726,654	0,10467222	1,567878764	14,97894
601,0511	608,1247	1100,856	1723,689	0,10418889	1,555094233	14,92572
600,9608	608,0298	1100,766	1723,594	0,106125	1,528779915	14,40546
600,5904	607,6405	1100,395	1723,205	0,10418889	1,463977755	14,05119
599,3685	606,3569	1099,173	1721,921	0,10467222	1,543685365	14,7478
599,8292	606,8406	1099,634	1722,405	0,10418889	1,447561631	13,89363

601,0194	608,0914	1100,824	1723,656	0,10661111	1,511465688	14,17737
601,1484	608,227	1100,953	1723,791	0,10951667	1,544859088	14,10616
601,5609	608,6605	1101,366	1724,225	0,10661111	1,515462898	14,21487
603,1253	610,3047	1102,93	1725,869	0,10757778	1,484189792	13,79643
601,7121	608,8194	1101,517	1724,384	0,10515556	1,430785464	13,60637
604,3667	611,6094	1104,172	1727,174	0,10467222	1,471055931	14,05393
605,8734	613,193	1105,678	1728,757	0,106125	1,606760583	15,14026
603,7407	610,9514	1103,546	1726,516	0,09982778	1,406171538	14,08597
600,246	607,2786	1100,051	1722,843	0,08965278	1,105082104	12,32625
		499,8049	1115,565	0,10854722		
605,3835	612,678	1105,188	1728,243	0,10467222	1,528925281	14,60679
604,6045	611,8594	1104,409	1727,424	0,10370278	1,535490204	14,80664
603,5536	610,7549	1103,359	1726,319	0,10467222	1,510881154	14,4344
604,5966	611,851	1104,401	1727,416	0,10854722	1,540474899	14,19175
603,9921	611,2157	1103,797	1726,78	0,106125	1,541478027	14,52512
604,2122	611,447	1104,017	1727,012	0,106125	1,478295052	13,92975
604,0921	611,3208	1103,897	1726,885	0,10564167	1,528795261	14,47152
604,5278	611,7787	1104,333	1727,343	0,10854722	1,633542812	15,04914
603,3668	610,5585	1103,172	1726,123	0,10564167	1,562558735	14,79112
601,9906	609,1122	1101,796	1724,677	0,10370278	1,541267255	14,86235
602,5239	609,6726	1102,329	1725,237	0,10757778	1,552988638	14,43596
601,6504	608,7546	1101,455	1724,319	0,10467222		
601,4918	608,5878	1101,297	1724,152	0,10467222	1,564604585	14,94766
600,8698	607,9342	1100,675	1723,499	0,10467222	1,461180336	13,95958
601,0511	608,1247	1100,856	1723,689	0,10467222	1,461336733	13,96107
602,7134	609,8718	1102,518	1725,436	0,10903333	1,647166755	15,107
603,1543	610,3352	1102,959	1725,9	0,10370278	1,469142483	14,16686
604,5525	611,8046	1104,357	1727,369	0,10418889	1,518145035	14,57108
605,1574	612,4405	1104,962	1728,005	0,106125	1,573698499	14,82873
		499,8049	1115,565	0,10370278		
604,7726	612,036	1104,578	1727,601	0,10757778	1,519253992	14,12238
603,0468	610,2222	1102,852	1725,787	0,10467222	1,455253265	13,90296
604,2667	611,5043	1104,072	1727,069	0,10564167	1,504111996	14,23787
603,4537	610,6498	1103,259	1726,214	0,10564167	1,49084232	14,11226
603,7068	610,9158	1103,512	1726,48	0,10661111	1,521451876	14,27104
602,894	610,0616	1102,699	1725,626	0,10273333	1,451854796	14,13227
603,8154	611,0299	1103,62	1726,594	0,10806389	1,593272317	14,7438
602,027	609,1503	1101,832	1724,715	0,10564167	1,444608207	13,67461
603,9075	611,1267	1103,712	1726,691	0,10854722	1,54223252	14,20794
603,0341	610,2089	1102,839	1725,773	0,10564167	1,458754417	13,80851

		499,8049	1115,565	0,10418889		
603,2854	610,4729	1103,09	1726,037	0,10854722		
		499,8049	1115,565	0,10321944		
603,0649	610,2412	1102,87	1725,806	0,10709444	1,514684298	14,14344
601,807	608,9191	1101,612	1724,484	0,10370278	1,521627563	14,67297
598,7683	605,7267	1098,573	1721,291	0,10467222	1,420195514	13,56803
597,7507	604,6582	1097,556	1720,223	0,10806389	1,514408162	14,01401
597,5769	604,4758	1097,382	1720,04	0,10418889	1,470685416	14,11557
		499,8049	1115,565	0,10709444		
598,7005	605,6556	1098,505	1721,22	0,10467222	1,475994563	14,10111
600,7988	607,8595	1100,604	1723,424	0,10370278	1,526624921	14,72116
601,9906	609,1122	1101,796	1724,677	0,10321944	1,4761999	14,30157
605,2666	612,5552	1105,071	1728,12	0,10321944	1,45110636	14,05846
604,2333	611,4692	1104,038	1727,034	0,10321944	1,431760689	13,87104
603,4537	610,6498	1103,259	1726,214	0,10321944	1,519910911	14,72504
603,3747	610,5668	1103,18	1726,131	0,10661111	1,492209357	13,99675
602,2343	609,3683	1102,039	1724,933	0,10418889	1,424852393	13,67567
602,9913	610,1639	1102,796	1725,728	0,10564167	1,555866636	14,72777
602,3669	609,5076	1102,172	1725,072	0,10370278	1,425897088	13,74984
601,5547	608,654	1101,36	1724,219	0,10273333	1,475187671	14,35939
602,0526	609,1773	1101,858	1724,742	0,106125	1,531405007	14,4302
601,2101	608,2918	1101,015	1723,856	0,10515556	1,43564884	13,65262
602,5239	609,6726	1102,329	1725,237	0,10709444	1,509439155	14,09447
603,0914	610,2691	1102,896	1725,834	0,10467222	1,525229016	14,57148
603,0649	610,2412	1102,87	1725,806	0,10661111	1,516760725	14,22704
602,4927	609,6398	1102,298	1725,204	0,10903333	1,545812538	14,17743
600,3997	607,4401	1100,205	1723,005	0,10564167	1,451525483	13,74009
599,6182	606,6191	1099,423	1722,184	0,10418889	1,431057872	13,73523
599,4831	606,4772	1099,288	1722,042	0,10757778	1,528407851	14,20747
598,7932	605,7528	1098,598	1721,317	0,10515556	1,48391368	14,11161
598,5802	605,5292	1098,385	1721,094	0,10709444	1,483125403	13,84876
599,2232	606,2043	1099,028	1721,769	0,10854722	1,528051141	14,07729
597,8347	604,7464	1097,64	1720,311	0,10370278	1,523812738	14,69404
599,6383	606,6402	1099,443	1722,205	0,10757778	1,509477375	14,0315
600,2995	607,3348	1100,104	1722,899	0,10515556	1,44869408	13,77668
602,5935	609,7457	1102,398	1725,31	0,10467222	1,464329553	13,98967
605,5981	612,9036	1105,403	1728,468	0,10709444	1,518169311	14,17599
604,8929	612,1624	1104,698	1727,727	0,10321944	1,422955445	13,78573
607,5863	614,9932	1107,391	1730,558	0,10757778	1,510132138	14,03758
605,0439	612,3212	1104,849	1727,886	0,10467222	1,539944026	14,71206

604,9441	612,2162	1104,749	1727,781	0,10467222	1,4759641	14,10082
605,9935	613,3192	1105,798	1728,884	0,10951667	1,657208133	15,13202
603,4537	610,6498	1103,259	1726,214	0,10564167	1,523771545	14,42396
603,9921	611,2157	1103,797	1726,78	0,10709444	1,605909944	14,99527
603,3394	610,5297	1103,144	1726,094	0,10685278	1,544583041	14,45524
601,4069	608,4986	1101,212	1724,063	0,09885833	1,433866797	14,50426
604,0557	611,2826	1103,861	1726,847	0,10757778	1,543635818	14,34902
603,4868	610,6846	1103,292	1726,249	0,10515556	1,475076275	14,02756
603,7068	610,9158	1103,512	1726,48	0,10515556	1,455952681	13,8457
603,2668	610,4534	1103,072	1726,018	0,10370278	1,560980337	15,05244
602,4869	609,6337	1102,292	1725,198	0,10564167	1,453223623	13,75616
603,5517	610,7529	1103,357	1726,317	0,10661111	1,540739578	14,45196
600,9271	607,9944	1100,732	1723,559	0,10370278	1,492867141	14,39563
601,09	608,1656	1100,895	1723,73	0,10564167	1,492366335	14,12668
600,2094	607,24	1100,014	1722,805	0,10467222	1,46431386	13,98952
601,3403	608,4286	1101,145	1723,993	0,10854722	1,575072873	14,51049
600,37	607,4089	1100,175	1722,973	0,10564167	1,503207605	14,22931
600,8406	607,9034	1100,645	1723,468	0,106125	1,487849937	14,01979
		499,8049	1115,565	0,10370278		
601,1197	608,1968	1100,925	1723,761	0,106125	1,520577634	14,32818
599,9588	606,9768	1099,764	1722,541	0,10564167	1,510173788	14,29525
602,2669	609,4025	1102,072	1724,967	0,10370278	1,494110796	14,40763
604,5966	611,851	1104,401	1727,416	0,10757778	1,530239679	14,2245
606,0936	613,4243	1105,898	1728,989	0,10709444		
604,6045	611,8594	1104,409	1727,424	0,10467222	1,511830586	14,44347
603,4868	610,6846	1103,292	1726,249	0,10515556		
603,4317	610,6267	1103,237	1726,191	0,10806389	1,53368492	14,19239
602,794	609,9565	1102,599	1725,521	0,10564167	1,497509866	14,17537
602,8069	609,97	1102,612	1725,535	0,10564167	1,465388998	13,87132
602,7069	609,8649	1102,512	1725,429	0,10467222	1,454940733	13,89997
602,8713	610,0377	1102,676	1725,602	0,10467222	1,526244258	14,58118
602,8713	610,0377	1102,676	1725,602	0,10418889	1,453177352	13,94753
603,626	610,831	1103,431	1726,395	0,10903333	1,544072622	14,16147
602,4869	609,6337	1102,292	1725,198	0,10467222	1,47087231	14,05217
603,7719	610,9843	1103,577	1726,549	0,10515556	1,534637095	14,59397
601,707	608,8141	1101,512	1724,379	0,10467222	1,447478199	13,82868
602,7443	609,9043	1102,549	1725,469	0,11048611	1,664743051	15,06744
601,2101	608,2918	1101,015	1723,856	0,10515556	1,468408835	13,96416
599,9293	606,9458	1099,734	1722,51	0,10418889	1,453965279	13,95509
600,5866	607,6365	1100,391	1723,201	0,10951667	1,557008621	14,21709

600,0791	607,1031	1099,884	1722,668	0,10661111	1,482788409	13,90839
600,3997	607,4401	1100,205	1723,005	0,10709444	1,512633634	14,1243
601,9628	609,0829	1101,768	1724,647	0,10661111	1,506099725	14,12704
603,0914	610,2691	1102,896	1725,834	0,106125	1,553534831	14,63873
606,0588	613,3878	1105,864	1728,952	0,10854722	1,536713287	14,15709
606,7216	614,0844	1106,527	1729,649	0,10467222	1,499507434	14,32574
606,7216	614,0844	1106,527	1729,649	0,10564167	1,475232595	13,9645
606,1269	613,4593	1105,932	1729,024	0,10467222	1,525782424	14,57677
607,1117	614,4944	1106,917	1730,059	0,10903333	1,536863719	14,09536
606,1269	613,4593	1105,932	1729,024	0,10564167	1,48672404	14,07327
604,7893	612,0535	1104,594	1727,618	0,10467222	1,505340131	14,38147
605,1466	612,4291	1104,951	1727,994	0,10661111	1,536826841	14,41526
		499,8049	1115,565	0,10515556		
603,7068	610,9158	1103,512	1726,48	0,10564167	1,451309945	13,73804
604,8169	612,0826	1104,622	1727,647	0,10951667	1,589804709	14,51655
603,4868	610,6846	1103,292	1726,249	0,10515556	1,55926042	14,82813
603,872	611,0894	1103,677	1726,654	0,10661111	1,479054861	13,87337
603,5517	610,7529	1103,357	1726,317	0,10515556	1,576398997	14,99111
603,2668	610,4534	1103,072	1726,018	0,10564167	1,523079468	14,41741
604,2761	611,5142	1104,081	1727,079	0,10806389	1,538329123	14,23537
602,1469	609,2764	1101,952	1724,841	0,10467222	1,468036347	14,02508
601,3101	608,397	1101,115	1723,961	0,106125	1,483552234	13,97929
601,6221	608,7248	1101,427	1724,289	0,10903333	1,547995965	14,19746
601,4302	608,5232	1101,235	1724,088	0,106125	1,474753294	13,89638
600,2094	607,24	1100,014	1722,805	0,10564167	1,524691084	14,43267
601,1512	608,2299	1100,956	1723,794	0,10661111	1,542996734	14,47313
603,3747	610,5668	1103,18	1726,131	0,10709444	1,597039787	14,91244
605,3778	612,672	1105,183	1728,237	0,10661111	1,531452218	14,36485
606,159	613,4931	1105,964	1729,058	0,10951667	1,535683256	14,02237
604,8929	612,1624	1104,698	1727,727	0,10564167	1,493990373	14,14206
605,5532	612,8564	1105,358	1728,421	0,10806389	1,554100816	14,38131
604,4531	611,7002	1104,258	1727,265	0,106125	1,503007081	14,16261
604,3332	611,5742	1104,138	1727,139	0,10709444	1,543164857	14,40938
605,0466	612,324	1104,851	1727,888	0,10951667	1,544163421	14,0998
604,8066	612,0718	1104,612	1727,636	0,10806389	1,576870371	14,59202
603,3862	610,5789	1103,191	1726,143	0,10370278	1,444887384	13,93297
603,3337	610,5238	1103,139	1726,088	0,10661111	1,595421923	14,96487
603,3337	610,5238	1103,139	1726,088	0,10515556	1,473210175	14,00982
603,2338	610,4187	1103,039	1725,983	0,10564167	1,511163938	14,30462
603,3668	610,5585	1103,172	1726,123	0,106125		

603,7068	610,9158	1103,512	1726,48	0,106125	1,491473694	14,05393
600,0893	607,1138	1099,894	1722,678	0,10467222	1,53923054	14,70524
600,3997	607,4401	1100,205	1723,005	0,10806389	1,526064498	14,12187
600,6497	607,7028	1100,455	1723,267	0,10467222	1,455945153	13,90957
600,7698	607,829	1100,575	1723,394	0,10370278	1,443591251	13,92047
600,9899	608,0604	1100,795	1723,625	0,10564167	1,470104258	13,91595
601,1471	608,2256	1100,952	1723,79	0,10467222	1,441390133	13,77051
602,273	609,4089	1102,078	1724,973	0,10854722	1,524220201	14,042
600,7698	607,829	1100,575	1723,394	0,10564167	1,484839482	14,05543
602,047	609,1714	1101,852	1724,736	0,10467222	1,525711439	14,57609
603,9355	611,1563	1103,74	1726,721	0,10903333		
603,3116	610,5005	1103,116	1726,065	0,10709444	1,566678195	14,62894
		499,8049	1115,565	0,11048611		
605,0128	612,2885	1104,818	1727,853	0,10661111	1,501879428	14,08746
602,9272	610,0965	1102,732	1725,661	0,09885833	1,420368541	14,36772
602,7444	609,9043	1102,549	1725,469	0,12066111	1,798014061	14,90136
602,989	610,1614	1102,794	1725,726	0,12356667	1,862836799	15,07556
604,5419	611,7935	1104,347	1727,358	0,12259722	1,833360514	14,95434
604,2927	611,5316	1104,098	1727,096	0,12211389	1,868040771	15,29753
604,0975	611,3265	1103,902	1726,891	0,12259722	1,858774277	15,16163
603,6066	610,8105	1103,411	1726,375	0,12066111	1,856271669	15,38418
604,1475	611,379	1103,952	1726,944	0,12066111	1,926197145	15,96369
603,6759	610,8834	1103,481	1726,448	0,12259722	1,799206016	14,67575
604,663	611,9209	1104,468	1727,485	0,12356667	1,938902246	15,69114
606,3353	613,6784	1106,14	1729,243	0,11920556	1,805124665	15,14296
607,5309	614,935	1107,336	1730,5	0,12114444	1,860643392	15,35888
608,8601	616,332	1108,665	1731,896	0,12163056	1,864877234	15,33231
609,7553	617,2728	1109,56	1732,837	0,12356667	1,914682582	15,49514
608,6739	616,1363	1108,479	1731,701	0,120175	1,844369989	15,34737
609,3233	616,8188	1109,128	1732,383	0,12308333	1,890491847	15,35945
608,0747	615,5065	1107,88	1731,071	0,12211389	1,923362851	15,75057
607,4101	614,808	1107,215	1730,373	0,12211389	1,845497039	15,11292
606,4562	613,8055	1106,261	1729,37	0,12066111	1,885471596	15,62617
605,7911	613,1064	1105,596	1728,671	0,12066111	1,821313639	15,09445
606,7066	614,0687	1106,512	1729,633	0,12598889	1,896529533	15,05315
608,0283	615,4578	1107,833	1731,022	0,12163056	1,820251788	14,96542
602,1842	609,3156	1101,989	1724,88	0,126475	1,843090811	14,57277
600,9685	608,0379	1100,773	1723,602	0,12308333	1,789169023	14,53624
601,211	608,2927	1101,016	1723,857	0,12211389	1,851452597	15,16169
602,244	609,3785	1102,049	1724,943	0,12453611	1,945769957	15,62414

602,3222	609,4607	1102,127	1725,025	0,12259722	1,815699205	14,81028
601,0235	608,0957	1100,828	1723,66	0,12066111	1,826081634	15,13397
600,5796	607,6291	1100,384	1723,194	0,12114444	1,839660418	15,18568
601,8777	608,9935	1101,683	1724,558	0,12308333	1,848347873	15,01704
602,4665	609,6123	1102,271	1725,177	0,12114444	1,841632335	15,20195
603,8428	611,0588	1103,648	1726,623	0,12501944	1,895060201	15,15812
603,8982	611,117	1103,703	1726,682	0,12308333	1,829119757	14,86082
606,9758	614,3515	1106,781	1729,916	0,12598889		
606,2384	613,5765	1106,043	1729,141	0,12308333	1,924303181	15,63415
600,3904	607,4303	1100,195	1722,995	0,09885833	1,392888851	14,08975
600,9271	607,9944	1100,732	1723,559	0,10128056	1,404155171	13,86402
600,5102	607,5562	1100,315	1723,121	0,09982778	1,363765799	13,66119
599,7313	606,7378	1099,536	1722,302	0,10031111	1,365215213	13,60981
599,9181	606,934	1099,723	1722,498	0,10079722	1,359224044	13,48474
593,0497	599,7222	1092,855	1715,287	0,07608611	0,664623755	8,735152
601,5498	608,6494	1077,816	1700,397	0,10264329	1,42895926	13,85433

Halaman ini sengaja dikosongk

BIODATA PENULIS



Penulis bernama lengkap Maulana Erryan Yavianda yang akrab disapa Erryan. Penulis merupakan anak pertama dari tiga bersaudara. Lahir di kota Magetan pada tanggal 25 Maret 1998. Penulis menempuh pendidikan di SD Muhammadiyah Magetan lulus tahun 2008, SMPN 1 Magetan lulus tahun 2013, dan SMAIT Abu Bakar Yogyakarta lulus tahun 2016. Pendidikan Sarjana ditempuh di Departemen Teknik Fisika, FTI ITS melalui jalur SBMPTN 2016. Selama aktif menjadi mahasiswa, penulis aktif dalam mengikuti organisasi Laboratorium Workshop Instrumentasi di Teknik Fisika ITS sebagai Koordinator Laboratorium. Selain aktif dalam bidang akademik, penulis juga aktif dalam pelatihan dalam beberapa lomba serta sedang aktif dalam berlatih di bidang olahraga yaitu kalistenik. Pengalaman internship program selama satu bulan di Pertamina Hulu Sanga-sanga Kalimantan Timur. Bidang minat penulis dalam mengerjakan Tugas Akhir adalah rekayasa instrumentasi dan kontrol. Apabila terdapat saran, kritik, ataupun diskusi terhadap Tugas Akhir ini, penulis dapat dihubungi melalui email erryanmaulana@gmail.com.